

TEMA 3: GUIAS DIELECTRICAS

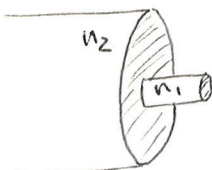
3.1- FIBRA ÓPTICA: TIPOS, MECANISMOS DE PROPAGACIÓN Y APLICACIONES

3.2- ANÁLISIS MODAL DE LA GUIA SLAB

3.3- ANÁLISIS MODAL DE LA FIBRA ÓPTICA

3.1- FIBRA ÓPTICA: TIPOS, MECANISMOS DE PROPAGACIÓN Y APLICACIONES

- Estructura de la fibra óptica: 2 cilindros coaxiales de material dielectrico



- núcleo: parte interior
- cubierta o revestimiento: parte exterior

$n_1 > n_2$ para que funcione

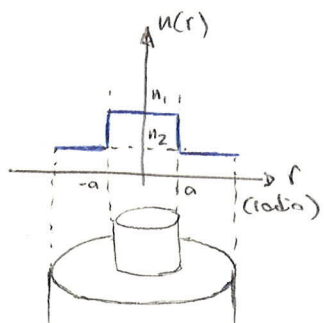
material: Silice (SiO_2) \Rightarrow capas para variar el indice de refracción

Sobre estos se aplica capa de protección.

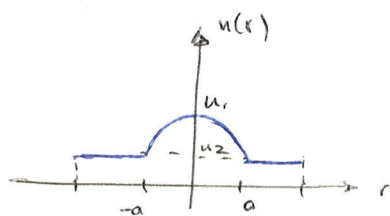
3.1.1 - TIPOS DE FIBRAS

• Según el perfil del índice de refracción del núcleo:

a) de salto de índice: cambio brusco de los índices de refracción



b) de índice gradual:



• Según el tamaño del núcleo:

a) monomodo: el diámetro típico es $2a \approx 5-10\mu\text{m}$

Sólo se propaga el modo fundamental (se supone, obviamente, que la frecuencia está en el rango óptico)

b) multimodo: $2a \approx 50-200\mu\text{m}$

Se propagan varios modos

El número de modos que se propagan en una guía depende de la relación entre la longitud de onda y el tamaño de la sección transversal.

En la práctica podemos encontrar las (en principio) fibras:

- multímodo
 - salto
 - gradual

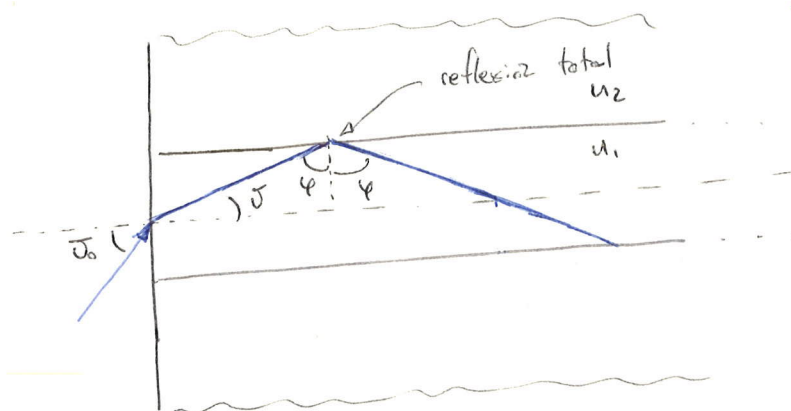
- monomodo
 - salto
 - gradual

Si es multimodo, no tiene sentido la monomodo gradual,
y la multimodo gradual tiene mejores prestaciones que
la de salto.

3.1.2 - Mecanismos de propagación

Con la óptica geométrica

corte longitudinal



\Rightarrow REFLEXIÓN TOTAL: tiene lugar en el interfaz entre núcleo y cubierta

Rayo que incide con ángulo J_0 . Se ignora el rayo reflejado.

Para que haya reflexión total:

$$\varphi \geq \varphi_{\min} \text{ (ángulo crítico)} \Rightarrow J_{\max} = J_{0,\max}$$

Por tanto, habrá reflexión total para todos los rayos que entran a la fibra con un ángulo menor que $J_{0,\max}$.

Ese James determinó en 3D el CONE DE ACEPTACIÓN

Reflexión total: $\operatorname{sen}(\varphi_{\text{refl}}) = u_2/u_1$

Suponiendo que se mide en la fibra desde el eje:

$$\operatorname{sen}(\delta_{\text{max}}) = u_1 \operatorname{sen}(\delta_{\text{max}}) = u_1 \cos(\varphi_{\text{min}}) = u_1 \sqrt{1 - \operatorname{sen}^2(\varphi_{\text{min}})}$$

$$\operatorname{sen}(\delta_{\text{max}}) = \cos(\varphi_{\text{min}})$$

$$\Rightarrow \operatorname{sen}(\delta_{\text{max}}) = u_1 \sqrt{1 - \frac{u_2^2}{u_1^2}}$$

$$\boxed{\operatorname{sen}(\delta_{\text{max}}) = \sqrt{u_1^2 - u_2^2}} \quad \text{Obj: debe ser } u_1^2 - u_2^2 \leq b$$

$$|\delta_{\text{max}}| < 90^\circ$$

AN: APERTURA NÚMÉRICA

$$0 \leq \text{AN} \leq 1$$

indica la capacidad que tiene la fibra para captar la

AN $\rightarrow 0 \Rightarrow$ cono de aceptación muy estrecho \Rightarrow poca aceptación de la

AN $\rightarrow 1 \Rightarrow$ mucha aceptación de la

Otra aproximación: en la práctica, $u_1 \approx u_2$. Por ejemplo,
1'56 y 1'47)

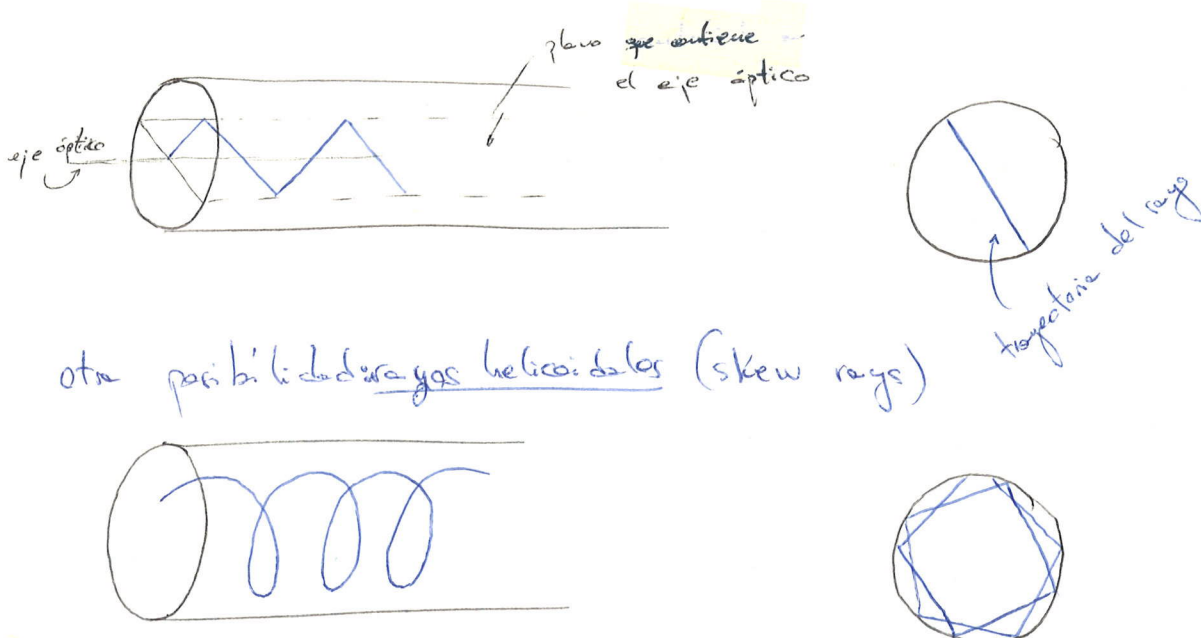
$$\boxed{\text{AN} \approx u_1 \sqrt{2\Delta}}$$

Δ : diferencia relativa de los índices de refracción

$$\boxed{\Delta = \frac{u_1 - u_2}{u_1}}$$

Ejemplo: $\theta_{\text{max}} = 10^\circ - 30^\circ$ (valores típicos)

Los rayos que hemos pintado antes se llaman rayos meridianos: se propagan en un plano que contiene al eje óptico.



el anillo de aceptación avanza ligeramente para los rayos helicoidales (sólo un poco), porque la apertura numérica es un poco mayor.

3.1.3- Aplicaciones

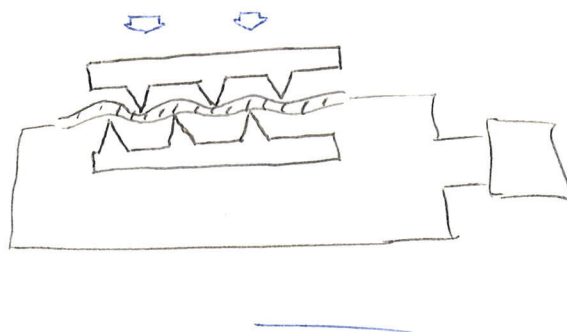
- transmisión de información (sin más concatenación)
- iluminar y captar imágenes en lugares inaccesibles: en medicina



ojo: la posición relativa de las fibras se debe mantener al final del tubo \Rightarrow no cruzarse

• sensores: temperatura, presión, velocidad de un fluido, ...

ejemplo: sensor de presión



la fibra es muy sensible a los cambios de presión, modificando la luz que padece pasar.

ventaja de los sensores de fibra óptica: la fibra es inerte - interferencias radioeléctricas

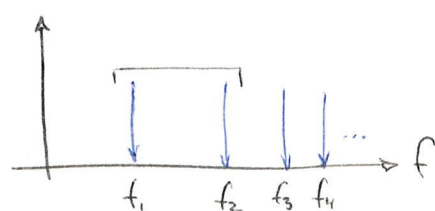
3.2. ANÁLISIS MODAL DE LA GUIA SLAB

la óptica geométrica no es suficiente para conocer las características de transmisión de la fibra óptica.

3.2.1.- ¿Qué necesitamos conocer sobre la fibra óptica?

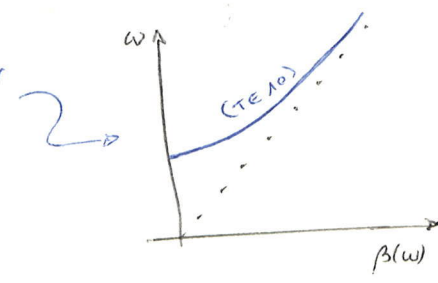
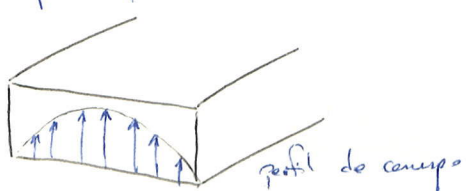
- ancho de banda necesario y frecuencia de corte del primer modo

interesa que se propague un solo modo para que no haya dispersión ya que cada modo se propaga a una velocidad.



- para el modo fundamental, la constante de fase (β) y el perfil de campo transversal

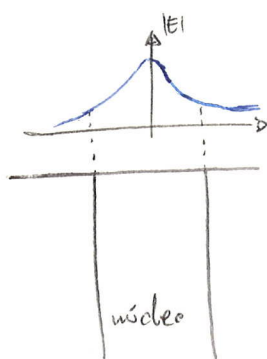
ejemplo: para la guía rectangular



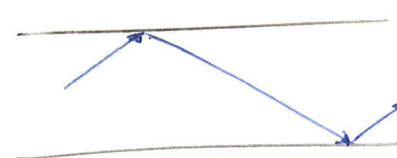
Conocer el perfil de campo nos sirve para saber donde hacer el agujero para poder transmitir o recibir información.

Quisiéramos hacerlo en un sitio donde sea seguro.

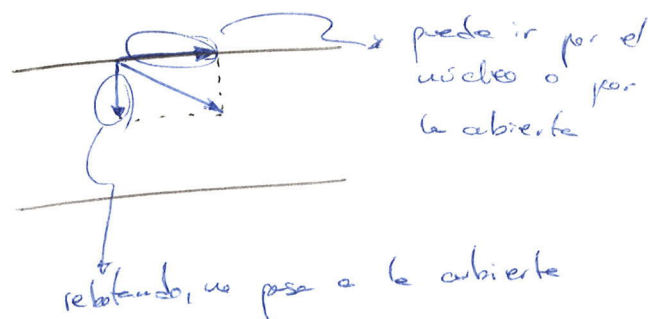
En los guías dielectricas interesa también por el hecho de que no se continúa el campo en el núcleo, así que sirve para poder dimensionar la cubierta



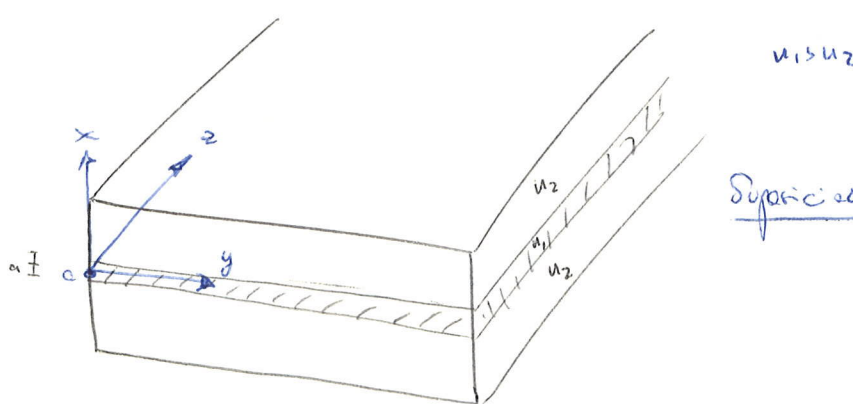
óptica geométrica



↓ decomponiendo la potencia



3.2.2 - La Guía SLAB



- Superficies:
- la cubierta es infinita
- la estructura es muy ancha comparado con el grosor del núcleo
- infinita en dirección \hat{y}

La 2^a suposición no será válida cerca de los bordes, pero dará buenas resultados en zonas alejadas de los bordes.

→ resolver las ecuaciones de Maxwell:

$$\nabla \times \vec{E}_i = -\mu_0 \frac{\partial \vec{H}_i}{\partial t} \quad i=1,2 \quad (\text{para cada medio})$$

$$\nabla \times \vec{H}_i = \epsilon_i \frac{\partial \vec{E}_i}{\partial t} \quad \begin{array}{l} i: \text{medio} \\ 1: \text{aire} \\ 2: \text{cubierta} \end{array}$$

→ condiciones de contorno: se impone continuidad en los campos entre los dos medios ⇒ campo continuo en las interfa-
cias de los medios.

$$x=t_0 \rightarrow E_{z1} = E_{z2} \quad H_{z1} = H_{z2}$$

$$E_{y1} = E_{y2} \quad H_{y1} = H_{y2} \quad \begin{array}{l} \text{componentes tangenciales} \\ (\text{paralelos}) \end{array}$$

$$D_{x1} = D_{x2} \quad B_{x1} = B_{x2} \quad \begin{array}{l} \text{componentes normales} \\ (\text{perpendiculares}) \end{array}$$

Si se cumple la continuidad de los componentes tangenciales, entonces se cumple automáticamente para los normales. Esto es así porque los campos son variables con el tiempo.

Descomponiendo los campos:

→ ecuación de onda:

$$\boxed{\Delta \vec{E}_i = \mu_0 \epsilon_i \frac{\partial^2 \vec{E}_i}{\partial t^2}} \quad i=1,2$$

→ forma de la solución:

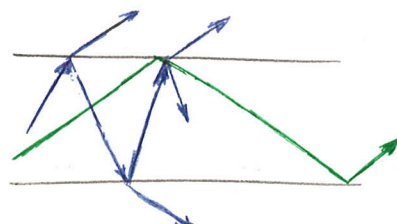
- Simetría de traslación $\Rightarrow e^{-\gamma_i z}$ γ_i : constante proporcional

- Superiores medios sin pérdidas $\Rightarrow \gamma_i = i\beta_i$

$$\Rightarrow e^{-i\beta_i z}$$

- Interesan soluciones con variación temporal del tipo $e^{i\omega t}$

- Si la estructura es infinita en y , sucede cambio en el plano y con $y(\text{frecuencia } \hat{y}) \Rightarrow$ La solución temporal variará con y ($\frac{\partial}{\partial y} = 0$)



■ no simetría para la continuación (modos perdidos)

■ sí simetría para la continuación (modos guindados)

Las dos son soluciones posibles, pero nos interesan los modos guindados

→ profundidad de solución:

$$\bar{E}_i(x, y, z, t) = \underbrace{\bar{E}_i(x)}_{\text{módulo}} e^{i\omega t} e^{i\beta_i z} \quad i=1, 2$$

argumento

el argumento ($t=0, z=0$) indica la fase en el origen (origen de fase), y es irrelevantemente en nuestro estudio, así que podemos poner el origen donde queramos. Por tanto, forcezanos que en $t=0, z=0$ el origen de fase sea cero. En ese caso, $\underline{\bar{E}_i(x) \in \mathbb{R}}$

$$\frac{\partial^2 \bar{E}_i}{\partial x^2} + \frac{\partial^2 \bar{E}_i}{\partial y^2} + \frac{\partial^2 \bar{E}_i}{\partial z^2} = \mu_0 \epsilon_i \frac{\partial^2 \bar{E}_i}{\partial t^2}$$

0 (no hay variación con y)

Sustituyendo nuestra expresión de \bar{E}_i ,

$$\frac{\partial^2 \bar{E}_i(x)}{\partial x^2} + \beta_i^2 \bar{E}_i(x) = -\mu_0 \epsilon_i \omega^2 \bar{E}_i(x)$$

(constante de fase)² = k_i^2

AKA cte de propagación

$$\boxed{\frac{\partial^2 \bar{E}_i(x)}{\partial x^2} + (k_i^2 - \beta_i^2) E_i(x) = 0}$$

Otro caso especial:

- $\beta_1 = \beta_2 = \beta$: La velocidad de la parte de la onda que va por el níquel tiene que ser igual a la de la parte que va por el cobre, así se cumplen las condiciones de salto

Demostración:

$$E_{1y}(x=a) = E_{2y}(x=a) \rightarrow E_{1y}(a) e^{j\omega t} e^{-j\beta_1 z} = E_{2y}(a) e^{j\omega t} e^{-j\beta_2 z}$$

Caso tiene que cumplirse para todo z (y todo t),

$$E_{1y}(a) = E_{2y}(a) = K \quad (z=0)$$

$$K e^{-j\beta_1 z} = K e^{-j\beta_2 z} \Rightarrow \underline{\beta_1 = \beta_2}$$

$$\boxed{\frac{\partial^2 \bar{E}_i(x)}{\partial x^2} + (k_i^2 - \beta^2) E_i(x) = 0}$$

Podemos probar con modos TE, TM, TEM, no TE y no TM

La experiencia nos dice que sólo funcionan las soluciones del tipo TE y TM.

3.23 - Solucion TE (modo TE):

Largo eléctrico transversal $\rightarrow \vec{E}_i(x) = E_{ix}(x) \hat{x} + E_{iy}(x) \hat{y}$

Ejercicio propuesto:

modo TE no tiene componente \hat{x}

Como ya sabemos que $E_{ix}(x)=0$, venmos directamente con $E_{iy}(x)$

$$\vec{E}_i(x, y, z, t) = E_{iy}(x) e^{i(\omega t - \beta z)} \hat{y}$$

$$\frac{d^2 E_{iy}(x)}{dx^2} + (k_i^2 - \beta^2) E_{iy}(x) = 0$$

$$k_i^2 - \beta^2 = \gamma_{ci}^2$$

La solución de esta ecuación diferencial es

$$E_{iy}(x) = A_i e^{i\gamma_{ci} x} + B_i e^{-i\gamma_{ci} x} \quad i=1, 2$$

Dependiendo del valor de γ_{ci} , tendrá un aspecto u otro

$$\gamma_{ci} \begin{cases} \in \mathbb{R} \\ \in \mathbb{C} \end{cases}$$

que sea real o imaginaria depende de la frecuencia de funcionamiento

$$\cdot \underline{\gamma_{ci} \in \mathbb{R}} \Rightarrow \underline{\epsilon_{iy}(x)} = \begin{cases} A_i = B_i^* \\ \gamma_{ci} = h_i \in \mathbb{R} \end{cases} \left\{ = 2 \operatorname{Re}(A_i e^{ih_i x}) \right.$$

$$= 2 A_i \cos(h_i x) - 2 A_i \sin(h_i x)$$

(solución de tipo oscilatorio)

$$\cdot \underline{\gamma_{ci} \in \mathbb{II}} \Rightarrow \underline{\epsilon_{iy}(x)} = \begin{cases} \gamma_{ci} = j h_i \\ A_i, B_i \in \mathbb{R} \end{cases} \left\{ = A_i e^{-h_i x} + B_i e^{h_i x} \right.$$

(solución de tipo exponencial)

Tenemos 4 soluciones posibles, en principio todas son válidas:

1. $\gamma_{c1}, \gamma_{c2} \in \mathbb{R}$

1 = nícteo

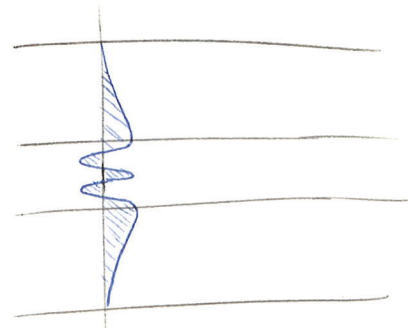
2. $\gamma_{c1}, \gamma_{c2} \in \mathbb{II}$

2 = cubierta

3. $\gamma_{c1} \in \mathbb{R}, \gamma_{c2} \in \mathbb{II}$ ①

4. $\gamma_{c1} \in \mathbb{II}, \gamma_{c2} \in \mathbb{R}$

perfil de campo: ① ↗



[nota ejercicio 3: descartar las soluciones]

las soluciones ② no cumplen las condiciones de contorno, & ④ tampoco porque se llega a $u_1 < u_2$

las de que quedan son los modos girados ③ y los resonantes ①

Vamos a estudiar las soluciones del tipo ③.

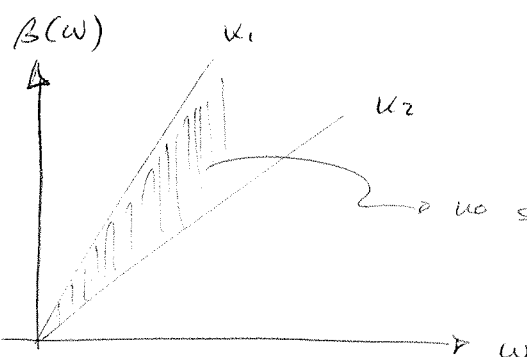
- Modo quieto: $\chi_1 \in \mathbb{R}$ $\chi_2 \in \mathbb{I}$

$$\begin{array}{ccc} & \downarrow & \downarrow \\ \chi_{c_1}^2 > 0 & & \chi_{c_2}^2 < 0 \\ \downarrow & & \downarrow \\ k_2^2 - \beta^2 < 0 \Rightarrow \beta > k_2 \\ k_1^2 - \beta^2 > 0 \Rightarrow \beta < k_1 \end{array}$$

$$k_2 < \beta < k_1$$

$$k_i = \omega \sqrt{\mu_0 \epsilon_i} = \frac{\omega}{c} u_i$$

lineal con ω



→ no sabemos la forma de $\beta(\omega)$, sólo que este es así

- Núcleo: $E_{xy}(x) = A \cos k_1 x + B \sin k_1 x$ $|x| < a$

Nota: va a englobar constantes con numero grande

- Cubierta: $E_{xy}(x) = C e^{-k_2 x} + D e^{k_2 x}$ $|x| > a$

Para $x > a$, $D = 0$ para que $e^{k_2 x}$ no se desvuelva

Para $x < -a$, $C = 0$ por lo mismo

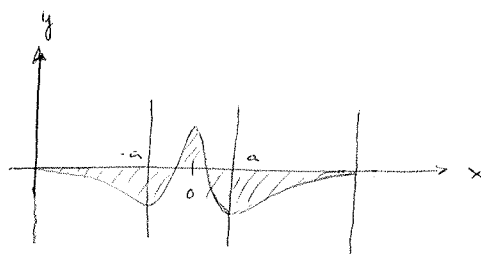
expresión más compacta: $E_{zy}(x) = C e^{-b_2|x|}$ $|x| > a$

En el análogo si impusieras condiciones de contorno ilimitadas
que le solvaz tuvieras que ser par e impar, A y B
no pueden ser nulos simultáneamente.

TE PARES

$$E_{zy}(x) = A \cos(b_2 x)$$

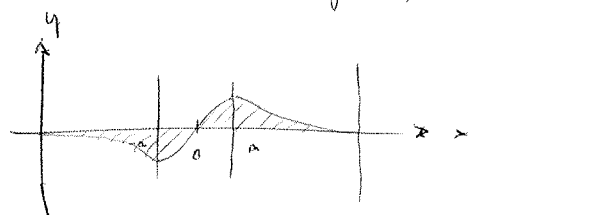
$$E_{zy}(x) = B e^{-b_2 |x|}$$



TE IMPARES

$$E_{zy}(x) = A \sin(b_2 x)$$

$$E_{zy}(x) = B e^{-b_2 |x|} \operatorname{sign}(x)$$



(continuación)

Necesitamos conocer:

- Combinaciones de h_1 y h_2
- Relación A/B (los valores absolutos dependen de las condiciones en los tapas)

De h_1 y h_2 se obtiene el perfil de campo y la constante de fase β (\Rightarrow diagrama de Egorov)

Condiciones de salto:

• TE pares

$$\rightarrow E_{1y}(a) = E_{2y}(a)$$

$$A \cos(h_1 a) = B e^{-h_2 a}$$

$$\left. \begin{array}{l} u = h_1 a \\ w = h_2 a \end{array} \right\} \Rightarrow \left. \begin{array}{l} A \cos u = B e^{-w} \\ \end{array} \right\}$$

$u \rightarrow$ variación del campo en el níquel

$w \rightarrow$ decaimiento del campo en el cobre

Si se cumplen las condiciones de salto para los componentes paralelos, se cumplen automáticamente para los perpendiculares, por lo que sólo tenemos que cumplir las paralelas.

$$\rightarrow H_{1z}(x=a) = H_{2z}(x=a)$$

$$\left\{ \text{(Faraday: } \nabla \times \vec{E}_i = -\mu_0 \frac{\partial \vec{H}_i}{\partial t} = -j\omega \mu_0 \vec{H}_i \right)$$

$$\begin{vmatrix} \hat{x} & \hat{y} & \hat{z} \\ \frac{\partial}{\partial x} & \frac{\partial}{\partial y} & \frac{\partial}{\partial z} \\ 0 & E_{iy} & 0 \end{vmatrix} = \underbrace{\frac{\partial E_{iy}}{\partial x}}_{= -j\omega \mu_0 H_{iz}} \hat{z} - \underbrace{\frac{\partial E_{iy}}{\partial z}}_{= -j\omega \mu_0 H_{ix}} \hat{x} =$$

$$= -j\omega \mu_0 (H_{ix} \hat{x} + H_{iz} \hat{z})$$

$$H_{iz} = \frac{1}{-j\omega \mu_0} \frac{\partial E_{iy}(x)}{\partial x}$$

$$H_{iz}(a) = -A \cdot h_i \cdot \operatorname{sen}(h_i \cdot a) \left(\frac{1}{-j\omega \mu_0} \right)$$

$$H_{iz}(a) = -B \cdot h_i \cdot e^{-h_i a} \left(\frac{1}{-j\omega \mu_0} \right)$$

$$\boxed{A \cdot u \cdot \operatorname{sen}(u) = B \cdot w \cdot e^{-w}}$$

→ forma matricial:

$$\begin{bmatrix} \cos u & -e^{-w} \\ u \operatorname{sen} u & -we^{-w} \end{bmatrix} \begin{bmatrix} A \\ B \end{bmatrix} = \begin{bmatrix} 0 \\ 0 \end{bmatrix}$$

Siempre tiene una solución que es la trivial,

$A=B=0$ (no hay campo interior ni en la abierta)

Tenemos que encontrar la solución trivial, porque se obliga a que el determinante sea nulo

$$\Rightarrow \boxed{u \operatorname{tg} u = w}$$

ecuación característica de los modos TE pares

$$\boxed{\beta = \frac{\cos u}{e^{-w}} A}$$

• TE impares

siguiendo el proceso sigue

$$\boxed{-u \operatorname{ctg} u = w}$$

$$\boxed{\beta = \frac{\operatorname{sen} u}{e^{-w}} A}$$

¿Rebajar sigue faltas?

implicado en el análisis sigue estando haciendo.

$$u^2 = h_1^2 \alpha^2 = \gamma_{c_1}^2 \alpha^2 = (k_1^2 - \beta^2) \alpha^2$$

$$w^2 = h_2^2 \alpha^2 = -\gamma_{c_2}^2 \alpha^2 = (\beta^2 - k_2^2) \alpha^2$$

$$u^2 + w^2 =$$

$$= (k_1^2 - k_2^2) \alpha^2 = \sqrt{2}$$

\uparrow \uparrow
 $\frac{\omega}{c} u_1$ $\frac{\omega}{c} u_2$

$v = \text{frecuencia normalizada}$

$$\boxed{u^2 + w^2 = v^2}$$

(igual para los pares y los impares)

$$\boxed{v = a (u_1 - u_2)^{1/2} \frac{\omega}{c}}$$

$$\boxed{V = \frac{2\pi f}{c} \cdot NA \cdot a}$$

NA = Apertura Numérica

- aumentar la apertura numérica \Rightarrow se proyecta más modo
- aumentar las dimensiones de la guía (a) \Rightarrow ideal
- aumentar la frecuencia \Rightarrow más de 6 modos

$$\cos h_1 x = \cos \left(h_1 a \frac{x}{a} \right)$$

$\underbrace{}$
 \bar{x}

$$h_2 x = h_2 a \frac{x}{a} = u \bar{x}$$

\Rightarrow Reducir las expresiones de los campos:

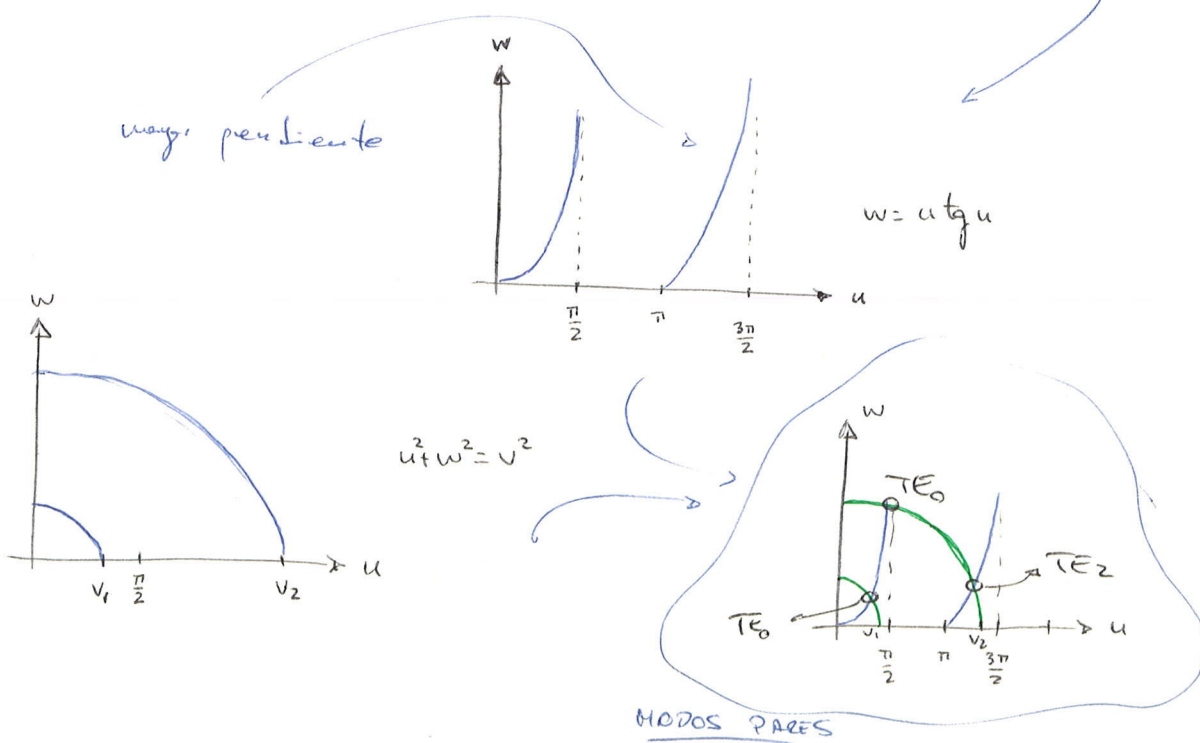
TE PARES

$$\begin{aligned} E_{1y}(x) &= A \cos u \bar{x} & |\bar{x}| \leq 1 \\ E_{2y}(x) &= B e^{-w(\bar{x})} & |\bar{x}| > 1 \end{aligned}$$

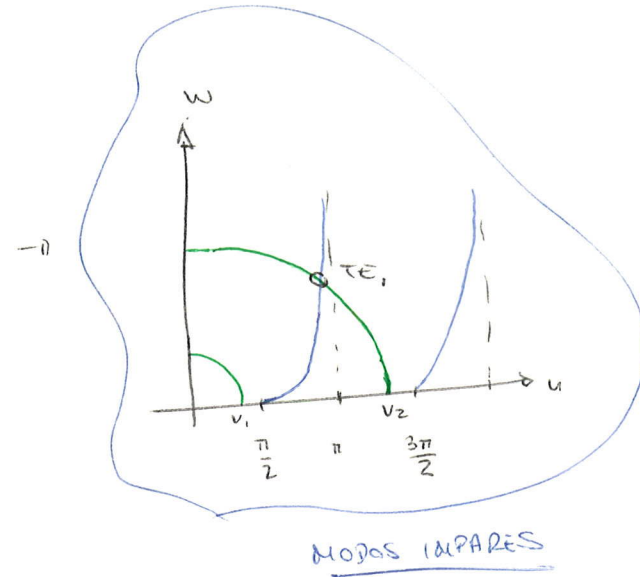
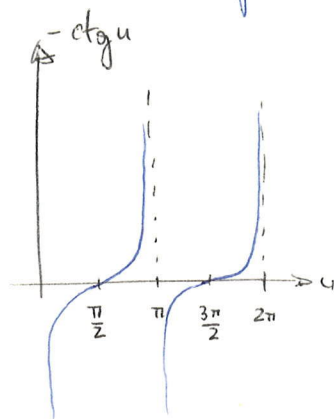
TE IMPARES

$$\begin{aligned} E_{1y}(x) &= A \sin u \bar{x} \\ E_{2y}(x) &= B e^{-w(\bar{x})} \operatorname{signo}(\bar{x}) \end{aligned}$$

También hay solución gráfica para las curvas



Para los impares:



$$\begin{cases} v_1 \rightarrow TE_0 \\ v_2 \rightarrow TE_0, TE_1, TE_2 \end{cases}$$

- Frecuencias normalizadas de corte:

$$v_c |_{TE_0} = 0$$

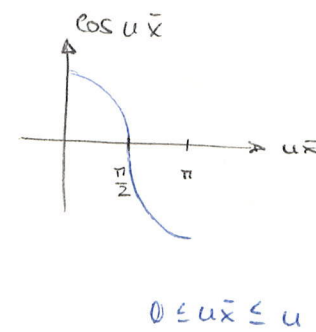
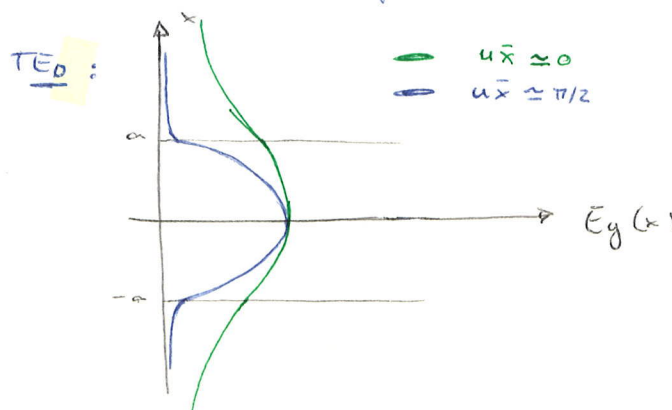
$$v_c |_{TE_1} = \frac{\pi}{2}$$

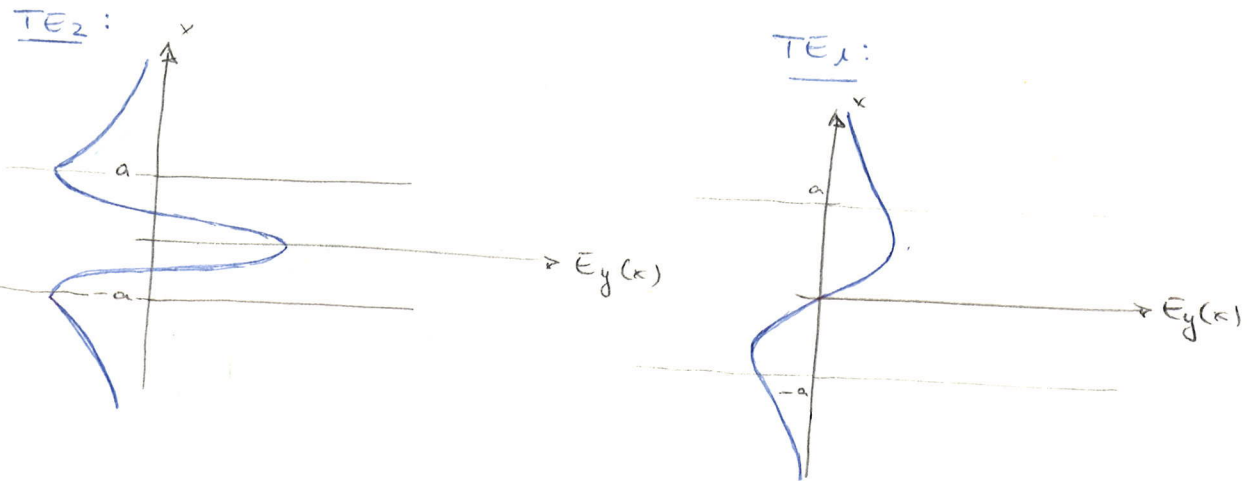
$$v_c |_{TE_2} = \pi$$

$$v_c |_{TE_m} = \frac{m\pi}{2}$$

Si $v > v_c |_{TE_m}$, se propagar todos los modos $TE_0 \dots TE_m$

- Perfiles de campo:



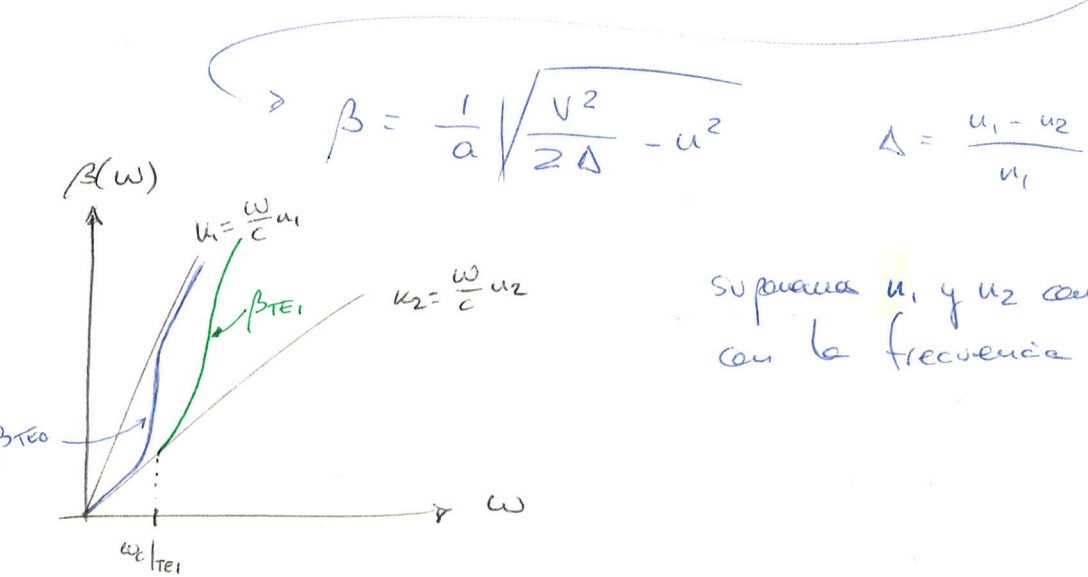


$\text{TE}_u \Rightarrow u$ pases por cero

- Diagramas de dispersión de los modos TE

$$\rightarrow \beta|_{\text{TE}_u}$$

$$\begin{aligned} \beta(\omega) \times \omega \\ u^2 = u_1^2 a^2 = (k_1^2 - \beta^2) a^2 \\ w^2 = h_2^2 a^2 = (\beta^2 - k_2^2) a^2 \end{aligned} \quad \begin{aligned} \beta = \sqrt{k_1^2 - \left(\frac{u}{a}\right)^2} \\ \beta = \sqrt{k_2^2 + \left(\frac{\omega}{a}\right)^2} \end{aligned}$$

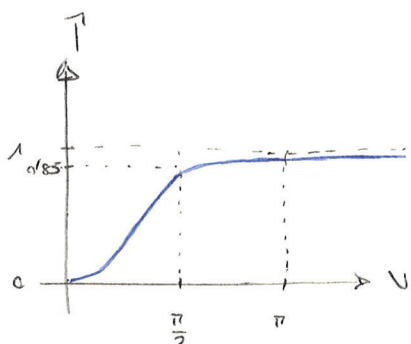


• Si $\omega \approx \omega_c - \tilde{\omega}_n \Rightarrow \omega \rightarrow 0$
 $n \rightarrow n \frac{\pi}{2} \Rightarrow \beta \rightarrow k_2$

• $\omega \rightarrow \infty \Rightarrow \omega \rightarrow \infty$
 $n \rightarrow (n+1) \frac{\pi}{2} \Rightarrow \beta \rightarrow k_1$

- Factor de confinamiento:

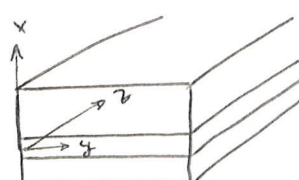
$$T = \frac{P_{\text{núcleo}}}{P_{\text{total}}} = \frac{P_{\text{núcleo}}}{P_{\text{núcleo}} + P_{\text{barierto}}} \quad 0 \leq T \leq 1$$



3.2.4 - TIPOS DE TH

(Transformaciones)

1- TH con H en el eje z



2- TH pares e impares

3- Condiciones de salto: $H_{1y}(\alpha) = H_{2y}(\alpha)$
 $E_{1z}(\alpha) = E_{2z}(\alpha)$

- Conclusiones:

- $V_c|_{TM_0} = V_c|_{TE_0} = u\pi/2 \Rightarrow$ no existe fundamental modo, y se propaga TE y TM para una frecuencia (más menor TE₀ y TM₀)
- wodos degenerados tienen la misma constante de propagación, β
(cargas metálicas son las que tienen la misma frecuencia de corte)
No existen wodos degenerados en la guía plana
- en la práctica, $\epsilon_1 \approx \epsilon_2$ ($\epsilon_1 \approx \epsilon_2$), por lo que

$$\beta|_{TE_0} \approx \beta|_{TM_0}$$

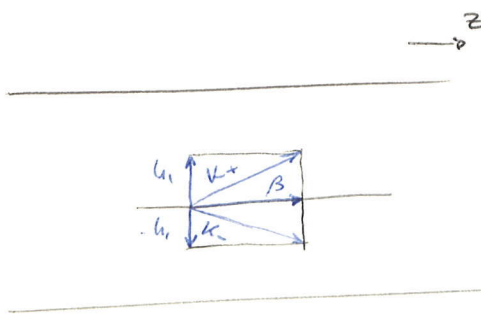
\Rightarrow TE₀ y TM₀ son aproximadamente degenerados
Y como las características de propagación son muy parecidas, es aproximadamente fundamental modo

3.2.5- INTERPRETACIÓN GEOMÉTRICA DE LOS RESULTADOS

se me olvidó copiar... System halfted

• análisis modal:

1 modo \rightarrow 2 ondas planas



$$|k_+|^2 = |k_-|^2 = k_1^2 + \beta^2 = k_1^2 - \beta^2 + \beta^2 = k_1^2$$

MODOS TM (GUÍA SLAB)

$$\Delta \bar{H}_i = \mu_0 \epsilon_i \frac{\partial^2 \bar{H}_i}{\partial t^2}$$

TM PARES

$$H_{1y}(x) = A \cos(u\bar{x})$$

$$H_{2y}(x) = \frac{A \cos(u)}{e^{-w}} e^{-w|\bar{x}|}$$

TM IMPARES

$$H_{1y}(x) = A \sin(u\bar{x})$$

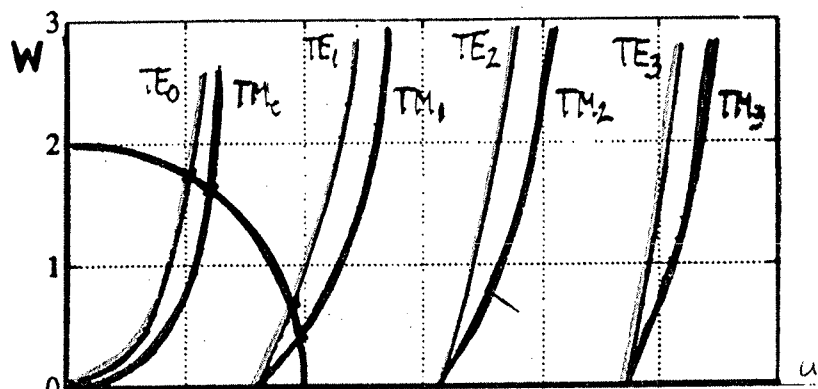
$$H_{2y}(x) = \frac{A \sin(u)}{e^{-w} \operatorname{sign}(x)} e^{-w|\bar{x}|}$$

$$(\epsilon_2/\epsilon_1) u \operatorname{tg}(u) = w$$

$$u^2 + w^2 = v^2$$

$$-(\epsilon_2/\epsilon_1) u \operatorname{cotg}(u) = w$$

$$u^2 + w^2 = v^2$$



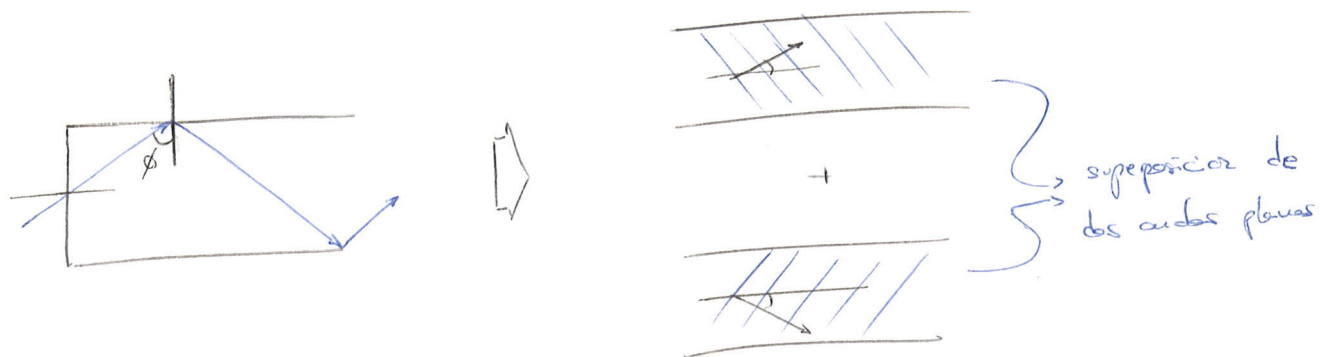
	PARES	IMPARES
TE	$E_{1y}(x) = A \cos ux$ $E_{2y}(x) = Be^{-w \bar{x} }$ $B = \frac{\cos u}{e^{-w}} A$ $utg u = w$	$E_{1y}(x) = A \operatorname{sen} u\bar{x}$ $E_{2y}(x) = Be^{-w \bar{x} } \operatorname{signo}(\bar{x})$ $B = \frac{\operatorname{sen} w}{e^{-w}} A$ $-u \operatorname{ctg} u = w$
TM	$H_{1y}(x) = A \cos ux$ $H_{2y}(x) = \frac{A \cos u}{e^{-w}} e^{-w \bar{x} }$ $\frac{E_2}{E_1} \operatorname{tg} u \cdot u = w$	$H_{1y}(x) = A \operatorname{sen} u\bar{x}$ $H_{2y}(x) = \frac{A \operatorname{sen} u}{e^{-w} \operatorname{signo}(\bar{x})} e^{-w \bar{x} }$ $-\frac{E_2}{E_1} u \operatorname{ctg} u = w$

$$u^2 + w^2 = v^2$$

$$\left| K_+ = K_- = K_1 \right|$$

Las ondas planas forman un ángulo δ en el eje óptico, que se asocia al modo (esta modo tiene un singulo de fermeado)

- Según la óptica geométrica, en régimen permanente:



Entonces, además, según la óptica geométrica, cualquier rayo que sea iniciado en un ángulo dentro del cono de aceptación que se difracte en la grá

Sin embargo, según el análisis modal, hay una existencia de los ángulos permitidos para que haya régimen permanente

- condición necesaria para propagación: (1 modo)

$\rightarrow v > v_c$ (análisis modal)

$\rightarrow \phi > \phi_{crit}$ (óptica geométrica)

ejercicio: comprobar que ambas condiciones son iguales

3.3- ANÁLISIS MODAL DE LA FIBRA ÓPTICA

(transparencias)

• esto es el tubo informativo

• modos TE y TM → rayos mantenidos

• modos libres → rayos helicoidales

Proceso:

1- Descomponer las ecuaciones de onda

2- Forma de las soluciones

3- Descomponer la ecuación de onda para las componentes longitudinales

4- Calcular Ez y Hz: ecuaciones de onda para Ez y Hz

Solución de la ecuación de onda:

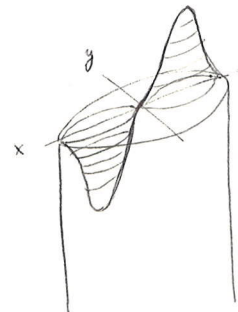
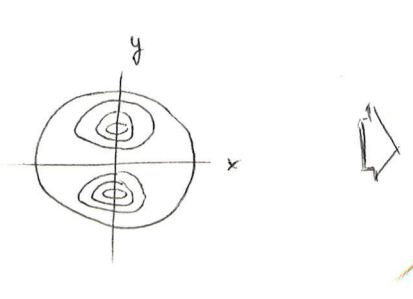
→ núcleo: variación oscilatoria

→ cubierta: descomposición

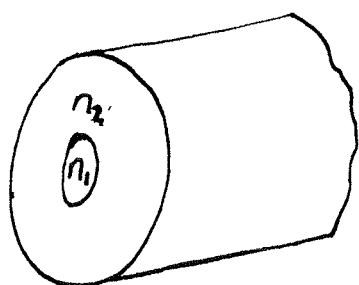
→ simetría de revolución ⇒ elegir solución referida también a solución

$$\Rightarrow \text{solución} = A \begin{pmatrix} 1 & 1 \\ 1 & 1 \end{pmatrix} + B \begin{pmatrix} 1 & 1 \\ -1 & 1 \end{pmatrix} \times (\text{sen}(u\phi) + \text{cos}(u\phi))$$

A, B constantes sin determinar



ANÁLISIS MODAL DE LA FIBRA DE SALTO DE ÍNDICE



$$n_1 > n_2$$

NÚCLEO : DIÁMETRO = $2a$

CUBIERTA \rightarrow GROSOR INFINITO

VAN A EXISTIR :

- MODOS TE Y TM \rightarrow ASOCIADOS A RAYOS MERIDIONALES
- MODOS HÍBRIDOS (EH, HE) \rightarrow ASOCIADOS A HELICOIDALES
($E_z \neq 0$ y $H_z \neq 0$)

(no hay TEH, porque no hay conductores)

ECUACIONES DE ONDA

$$\left. \begin{array}{l} \Delta \bar{E}_i + K_i^2 \bar{E}_i = 0 \\ \Delta \bar{H}_i + K_i^2 \bar{H}_i = 0 \end{array} \right\} i=1,2 \quad \text{Medios sin pérdidas}$$

* VARIACIÓN TEMPORAL TIPO : $e^{j\omega t}$

* SIMETRÍA TRASLACIÓN : \rightarrow VARIACIÓN $e^{-j\beta z}$ ($\beta_1 = \beta_2$)

\rightarrow DESACOPLO DE LA ECUACIÓN DE ONDA

PARA LAS COMPONENTES LONGITUDINALES



1º CÁLCULO DE E_z, H_z

$$\Delta E_z = \mu_0 \epsilon_0 \frac{\partial^2 E_z}{\partial t^2}$$

$$\Delta H_z = \mu_0 \epsilon_0 \frac{\partial^2 H_z}{\partial t^2}$$

2º OBTENEMOS CAMPOS TRANSVERSALES A PARTIR DE E_z, H_z

(continua en pág. 4)

SOLUCIÓN DE LA ECUACIÓN DE ONDA

$$\Delta_t F(r, \phi) + \gamma_{ci}^2 F(r, \phi) = 0 \quad i=1,2$$

ecuación de ondas

$$\frac{\partial^2 F}{\partial r^2} + \frac{1}{r} \frac{\partial F}{\partial r} + \frac{1}{r^2} \frac{\partial^2 F}{\partial \phi^2} + \gamma_{ci}^2 F = 0$$

lo mismo en cilíndricas

SEPARACIÓN DE VARIABLES

$$F(r, \phi) = R(r) \Phi(\phi)$$

$$\frac{1}{\Phi} \frac{\partial^2 \Phi}{\partial \phi^2} = - \left[\frac{r^2}{R} \frac{\partial^2 R}{\partial r^2} + \frac{r}{R} \frac{\partial R}{\partial r} + r^2 \gamma_{ci}^2 \right]$$

↓

- $\frac{1}{\Phi} \frac{\partial^2 \Phi}{\partial \phi^2} = -n^2 \quad \xrightarrow{\text{solución}} \boxed{\Phi(\phi) = C \sin(n\phi) + D \cos(n\phi)}$

- $\frac{d^2 R}{dr^2} + \frac{1}{r} \frac{dR}{dr} + R \left(\gamma_{ci}^2 - n^2/r^2 \right) = 0 \rightarrow \text{EC. DIFF. BESEL}$

solución

NÚCLEO: $\gamma_{ci} \equiv h_1$

$$R(r) = A_1 J_n(h_1 r) + B_1 N_n(h_1 r)$$

función de Bessel de
1^a especie

CUBIERTA: $\gamma_{ci} \equiv j h_2$

$$R(r) = A_2 K_n(h_2 r) + B_2 I_n(h_2 r)$$

función de Bessel
de 2^a especie

$$N_n(0) = -\infty \Rightarrow B_1 = 0$$

$$I_n(\infty) = \infty \Rightarrow B_2 = 0$$

SOLUCIÓN DE LA ECUACIÓN DE ONDA

(CILÍNDRICAS → SEPARACIÓN VARIABLES → EC. DIFF. BESSEL → MODOS GUIADOS ⇒ $\gamma_{c1} = h_1$; $\gamma_{c2} = ih_2$)

$$r < a \quad \left\{ \begin{array}{l} E_{21} = A_1 J_n(h_1 r) \\ H_{21} = B_1 J_n(h_1 r) \end{array} \right\} \cdot e^{jn\phi} \cdot e^{j(wt - p_2)}$$

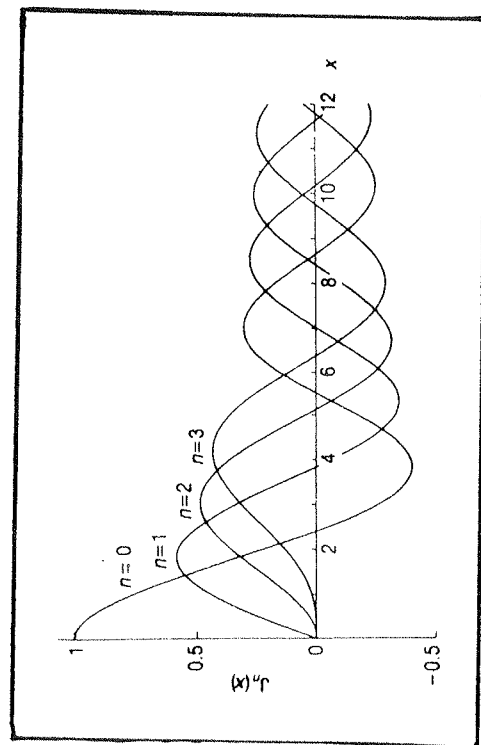
$$r > a \quad \left\{ \begin{array}{l} E_{22} = A_2 K_n(h_2 r) \\ H_{22} = B_2 K_n(h_2 r) \end{array} \right\}$$

NOTACIÓN COMPACTA DE:

$e^{jn\phi}$ → es exponencialmente ϕ , para los senos

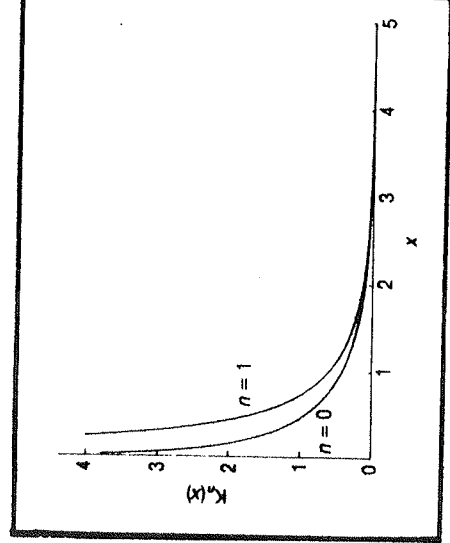
$n \rightarrow$ ENTERO

FUNCIONES DE BESSEL DE 1^a ESPECIE
 $J_n(x)$



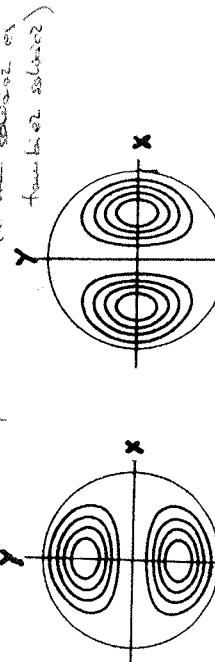
VARIACIÓN OSCILATORIA (NÚCLEO)

FUNCIONES DE BESSEL DE 2^a ESPECIE
 $K_n(x)$



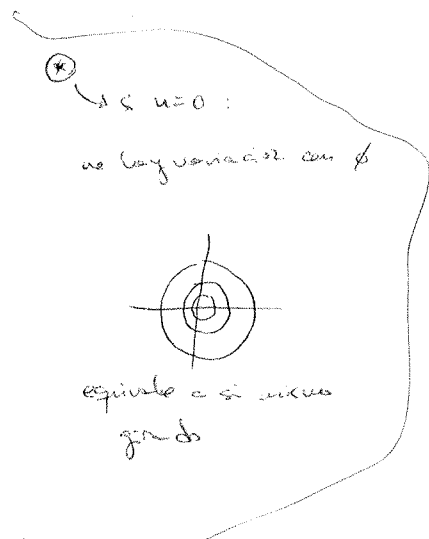
CUALQUIER SOLUCIÓN SE PUEDE EXPRESAR COMO COMBINACIÓN LINEAL

DE 2 SOLUCIONES IDENTICAS GRADAS → **POLARIZACIONES ORTOGONALES**



$\sin(n\phi)$ [n=1] $\cos(n\phi)$
 TODOS LOS MODOS SON DEGENERADOS
 POR PAREJAS SALVO CUANDO $n=0$

DECAYMIENTO (CUBIERTA)

PARA CALCULAR E_z y H_z EXPRESAMOS : (componentes longitudinal) 

$$\left. \begin{aligned} E_{zi} &= F_{Ei}(r, \phi) e^{i(\omega t - \beta z)} \\ H_{zi} &= F_{Hi}(r, \phi) e^{i(\omega t - \beta z)} \end{aligned} \right\} i=1,2.$$



ECUACIÓN DE ONDA PARA E_z, H_z :

$$At \left\{ \begin{array}{l} F_{Ei} \\ F_{Hi} \end{array} \right\} + \gamma_{ci}^2 \left\{ \begin{array}{l} F_{Ei} \\ F_{Hi} \end{array} \right\} = 0 \quad i=1,2.$$

$$\gamma_{ci}^2 = \kappa_i^2 - \beta^2$$

PARA CALCULAR LAS COMPONENTES TRANSVERSALES :

$$E_r i = \frac{-j}{\gamma_{ci}^2} \left[\beta \frac{\partial E_{zi}}{\partial r} + \frac{\omega \mu_0}{r} \frac{\partial H_{zi}}{\partial \phi} \right]$$

$$E_\phi i = \frac{-j}{\gamma_{ci}^2} \left[\frac{\beta}{r} \frac{\partial E_{zi}}{\partial \phi} - \omega \mu_0 \frac{\partial H_{zi}}{\partial r} \right] \quad i=1,2.$$

$$H_r i = \frac{-j}{\gamma_{ci}^2} \left[\beta \frac{\partial H_{zi}}{\partial r} - \frac{\omega \epsilon}{r} \frac{\partial E_{zi}}{\partial \phi} \right]$$

$$H_\phi i = \frac{-j}{\gamma_{ci}^2} \left[\frac{\beta}{r} \frac{\partial H_{zi}}{\partial \phi} + \omega \epsilon \frac{\partial E_{zi}}{\partial r} \right]$$

② continua en pág. 2

IMPONEMOS CONDICIONES DE SALTO

continuidad
de
↓

EXPRESIÓN MATRICIAL

: CONTINUIDAD
DE E_z, E_ϕ, H_z, H_ϕ
en $r=a, \theta, z$

$$\begin{bmatrix} E_z \\ H_z \\ E_\phi \\ H_\phi \end{bmatrix} = \begin{bmatrix} J_n(u) & -K_n(w) & 0 & 0 \\ 0 & 0 & J_n(u) & -K_n(w) \\ \frac{\beta_n J_n(u)}{h_1^2 a} & \frac{\beta_n K_n(w)}{h_2^2 a} & \frac{j\omega\mu_0 J_n(u)}{h_1} & \frac{j\omega\mu_0 K_n(w)}{h_2} \\ \frac{j\omega E_1 J_n(u)}{h_1} & \frac{j\omega E_2 K_n(w)}{h_2} & \frac{-\beta_n J_n(u)}{h_1^2 a} & \frac{-\beta_n K_n(w)}{h_2^2 a} \end{bmatrix} \begin{bmatrix} A_1 \\ A_2 \\ B_1 \\ B_2 \end{bmatrix}$$

SOLUCIÓN DISTINTA DE LA TRIVIAL $\Rightarrow \det = 0$



ECUACIÓN CARACTERÍSTICA DE LOS MODOS

$$[\bar{Y}_n(u) + \bar{X}_n(w)] [\bar{Y}_n(u) + \frac{\epsilon_2}{\epsilon_1} \bar{X}_n(w)] = n^2 \left[\frac{1}{u^2} + \frac{1}{w^2} \right] \left[\frac{1}{u^2} + \frac{\epsilon_2/\epsilon_1}{w^2} \right]$$

DONDE:

$$\bullet \bar{Y}_n(u) = \frac{J_n(u)}{u J_n(u)}$$

$$\bullet \bar{X}_n(u) = \frac{K_n(w)}{w K_n(w)}$$

CON: $u = h_1 \cdot a ; w = h_2 \cdot a$

JUNTO CON $v^2 = u^2 + w^2 \Rightarrow$ PERMITE

OBTENER:

• u, w (\rightarrow PERFILES DE CAMPO, β)

• $A's, B's \rightarrow$ DE CADA MODO

SOLUCIÓN DE LA ECUACIÓN CARACTERÍSTICA

ESTUDIAMOS POR SEPARADO LOS CASOS : $n=0 \rightarrow$ MODOS TE y TM
 $n \geq 1 \rightarrow$ MODOS HÍBRIDOS

SOLUCIONES CON $n=0$: MODOS TE y TM

LA MATRIZ DE LAS CONDICIONES DE SALTO QUEDA : (cambiando las filas)

$$\left[\begin{array}{ccc|cc|c} J_0(u) & [M_1] & -K_0(w) & 0 & 0 & A_1 \\ \frac{i\omega\epsilon_1 J'_0(u)}{h_1} & & \frac{i\omega\epsilon_2 K'_0(w)}{h_2} & 0 & 0 & A_2 \\ \hline 0 & 0 & \frac{j\omega\mu_0 J'_0(w)}{h_1} & \frac{j\omega\mu_0 K'_0(w)}{h_2} & & B_1 \\ 0 & 0 & J_0(u) & -K_0(w) & & B_2 \end{array} \right] = \begin{bmatrix} 0 \\ 0 \end{bmatrix}$$

EXISTEN SOLUCIONES CON $E_2=0$ y $H_2 \neq 0 \rightarrow A_1=A_2=0$ } TE
 $B_1, B_2 \neq 0$ }
 $E_2 \neq 0$ y $H_2=0 \rightarrow A_1, A_2 \neq 0$ } TM.
 $B_1=B_2=0$ }

TX_{uu}
 ↳ modo según su
 frecuencia de corte

$E_2 \neq 0$ y $H_2=0 \rightarrow A_1, A_2 \neq 0$ } TM.
 $B_1=B_2=0$ }

MODOS TE_{0m}

SOLUCIÓN ≠ TRIVIAL $\Rightarrow \det[M_2]=0$

EC. DE LOS MODOS :

$$Y_0(u) + X_0(w) = 0$$

$$u^2 + w^2 = v^2$$

MODOS TM_{0m}

SOLUCIÓN ≠ TRIVIAL $\Rightarrow \det[M_1]=0$

EC. DE LOS MODOS :

$$Y_0(u) + \frac{\epsilon_2}{\epsilon_1} X_0(w) = 0$$

$$u^2 + w^2 = v^2$$

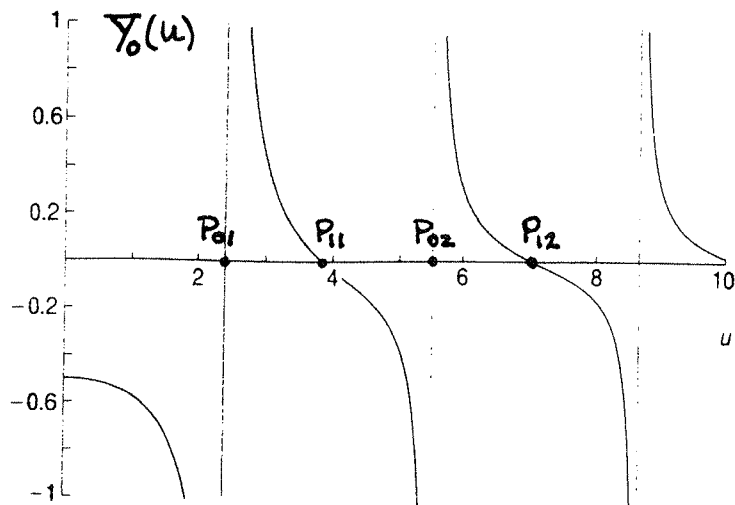
en el caso de $\det(M_1)=\det(M_2)=0$ no es posible, porque el sistema

$Y_0(u)+X_0(w)=0$ (el)
 $Y_0(u)+\frac{\epsilon_2}{\epsilon_1} X_0(w)=0$ (no es
 f.ble)

es imposible $|M_1|=|M_2|=0$

SOLUCIÓN GRÁFICA

FUNCIÓN $\Upsilon_0(u)$



para los ceros en los
raíces de J_0 y
asintotas en los de J_1 .

$$\Upsilon_0(u) = \frac{J'_0(u)}{u J_0(u)}$$

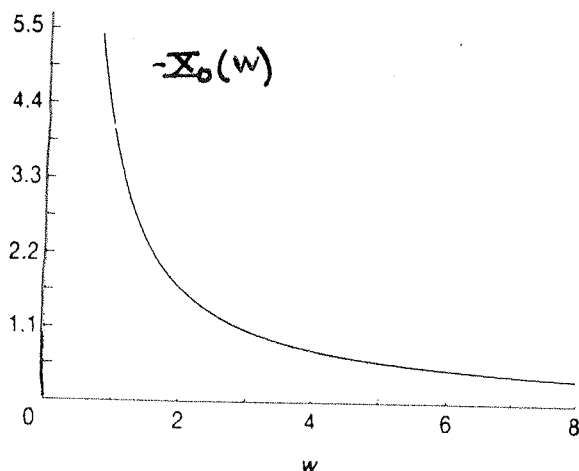
SE CUMPLE QUE :

$$J'_0(u) = -J_1(u)$$

$P_{nm} = m\text{-simo cero de } J_n(u)$

	P_{0m}	P_{1m}	P_{2m}	P_{3m}
$m=1$	2'40	3'83	5'13	
$m=2$	5'52	7'10	8'41	6'38
$m=3$	8'65	10'17	.	.
$m=4$	11'79	.	.	.
	:			

FUNCIÓN $-X_0(w)$



HAY QUE RESOLVER :

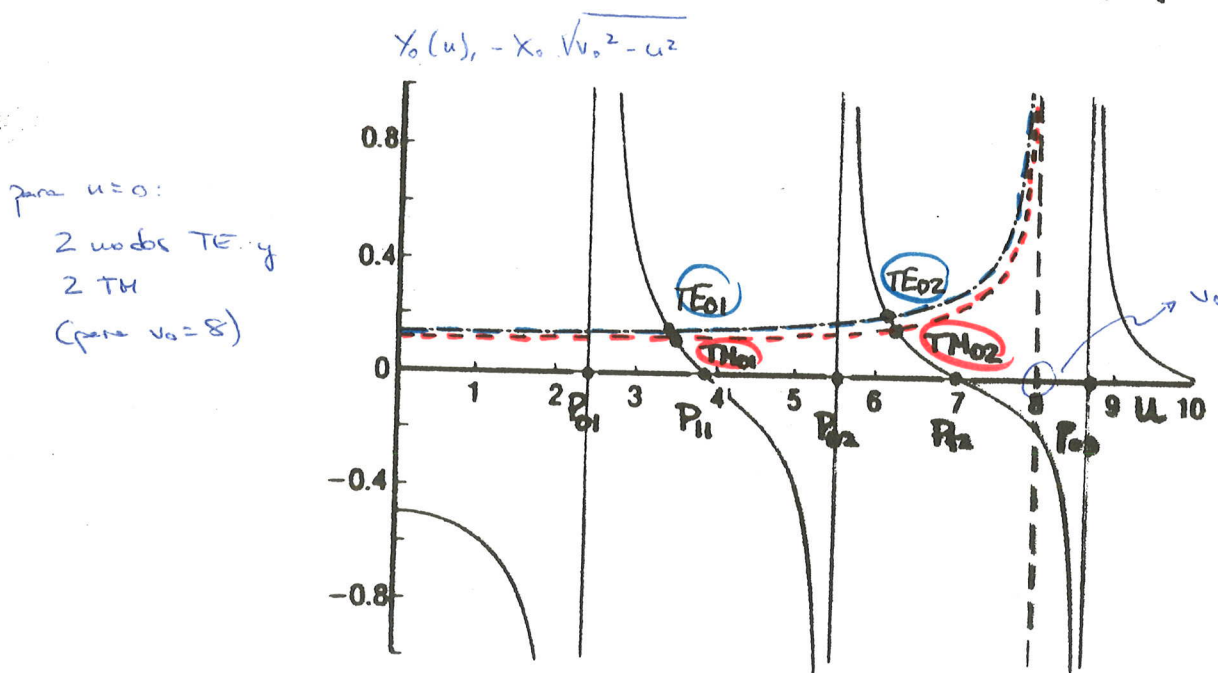
$$\left. \begin{aligned} \Upsilon_0(u) + X_0(w) &= 0 \\ u^2 + w^2 &= v^2 \end{aligned} \right\} \rightarrow \boxed{\Upsilon_0(u) = -X_0(\sqrt{v^2 - u^2})} \quad TE_{om}$$

$$\left. \begin{aligned} \Upsilon_0(u) + \frac{\epsilon_2}{\epsilon_1} X_0(w) &= 0 \\ u^2 + w^2 &= v^2 \end{aligned} \right\} \rightarrow \boxed{\Upsilon_0(u) = -\frac{\epsilon_2}{\epsilon_1} X_0(\sqrt{v^2 - u^2})} \quad TM_{om}$$

PARA UNA FRECUENCIA DADA $V = V_0$ LOS PUNTOS DE CORTE DE LAS CURVAS $\gamma_0(u)$ Y $-X_0(\sqrt{V_0^2 - u^2})$ CORRESPONDEN A LOS DISTINTOS MODOS.

DEL GRÁFICO SACAMOS SÓLO EL PARÁMETRO u DE LOS MODO DE $\ll u^2 + w^2 = V_0^2 \gg$ SACAMOS EL PARÁMETRO w

EJEMPLO PARA $V_0 = 8$ Y UN DETERMINADO ϵ_3/ϵ_1 :



FRECUENCIA DE CORTE

AQUELLA EN LA CUAL EL CAMPO DEL MODO DEJA DE SER GUIADO

$$V \rightarrow V_c \Rightarrow w \rightarrow 0 \Rightarrow u \rightarrow V$$

→ NO DECRECE EN EL EXTERIOR

ANALÍTICAMENTE: HACER $w \rightarrow 0$ EN LAS ECUACIONES DE DISPERSION.

GRAFICAMENTE:

$$\boxed{\frac{V_c}{\text{TE}_{0m}, \text{TM}_{0m}} = P_{0m}}$$

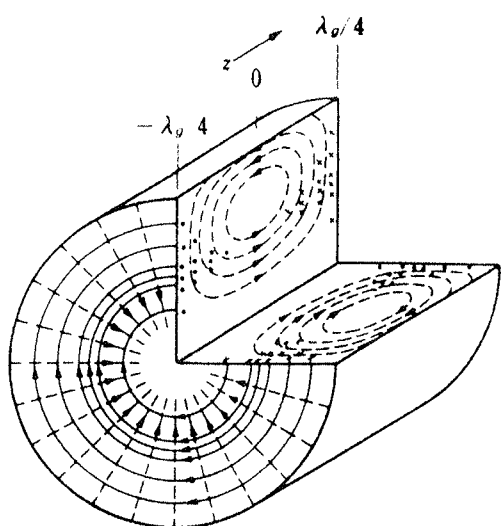
frecuencia de corte del 1er modo →

$$\boxed{\frac{V_c}{\text{TE}_{01}, \text{TM}_{01}} = 2'4}$$

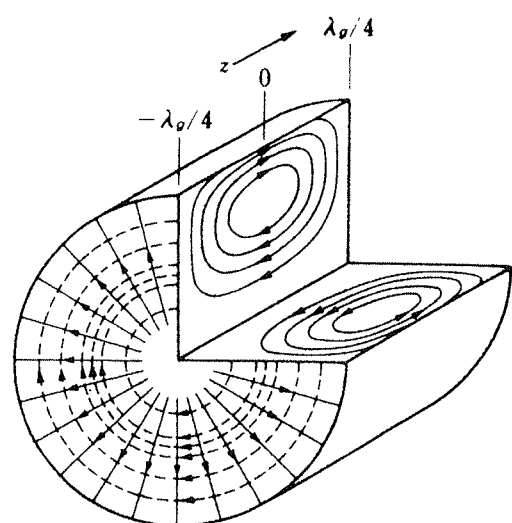
CONFIGURACIONES DE CAMPO

CONOCIDOS u, w PARA CADA MODO \rightarrow CONOCEMOS $E_z(TM)$ y $H_z(TE)$
 \rightarrow A PARTIR DE LA COMPONENTE LONGITUDINAL CALCULAMOS LAS TRANSVERSALES.

EJEMPLO:

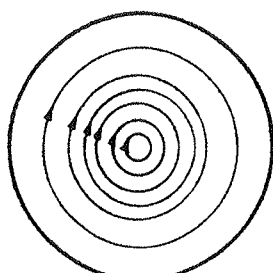


TE_{01}

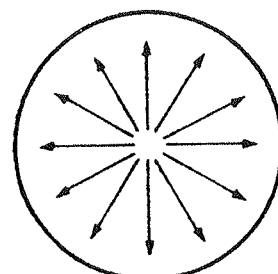


TM_{01}

ESQUEMATICAMENTE (SÓLO REPRESENTAMOS EL CAMPO ELÉCTRICO TRANSVERSAL)



TE_{01}



TM_{01}

* (OBTENER EXPRESIONES COMPLETAS DE LOS CAMPOS DE LOS MODOS TE_{om} y TM_{on})

(SOLUCIÓN DE LA ECUACIÓN CARACTERÍSTICA)

SOLUCIONES CON $n \geq 1$: MODOS HÍBRIDOS EH y HE

CUANDO $n \neq 0$ NO EXISTEN SOLUCIONES CON $E_2 = 0$ ó $H_2 = 0$

TODAS LAS SOLUCIONES CONTIENEN $E_2 \neq 0$ y $H_2 \neq 0$

→ SE TRATA DE MODOS HÍBRIDOS QUE LLAMAREMOS EH y HE

ECUACIÓN DE DISPERSIÓN

$$\left\{ \begin{array}{l} (1) \quad \left[Y_n(u) + X_n(w) \right] \left[Y_n(u) + \frac{\epsilon_2}{\epsilon_1} X_n(w) \right] = n^2 \left[\frac{1}{u^2} + \frac{1}{w^2} \right] \left[\frac{1}{u^2} + \frac{\epsilon_2/\epsilon_1}{w^2} \right] \\ (2) \quad u^2 + w^2 = v^2 \end{array} \right.$$

→ SISTEMA A RESOLVER:

LO EXPRESAMOS ASÍ :

$$A \underbrace{1 \cdot Y_n^2(u)}_{A} + B \underbrace{\left(1 + \frac{\epsilon_2}{\epsilon_1} \right) X_n(w) Y_n(u)}_{B} + C \underbrace{\frac{\epsilon_2}{\epsilon_1} X_n^2(w) - n \left[\frac{1}{u^2} + \frac{1}{w^2} \right] \left[\frac{1}{u^2} + \frac{\epsilon_2/\epsilon_1}{w^2} \right]}_{C} = 0$$

ECUACIÓN DE 2º ORDEN EN $Y_n(u)$:

$$Y_n(u) = \begin{cases} \frac{-B + \sqrt{B^2 - 4AC}}{2A} & \rightarrow \text{MODOS } EH_{nm} \\ \frac{-B - \sqrt{B^2 - 4AC}}{2A} & \rightarrow \text{MODOS } HE_{nm} \end{cases}$$

FUNCIÓN DE "u"

HACIENDO USO DE (2) EXPRESAMOS

A, B y C COMO FUNCIÓN DE "u"

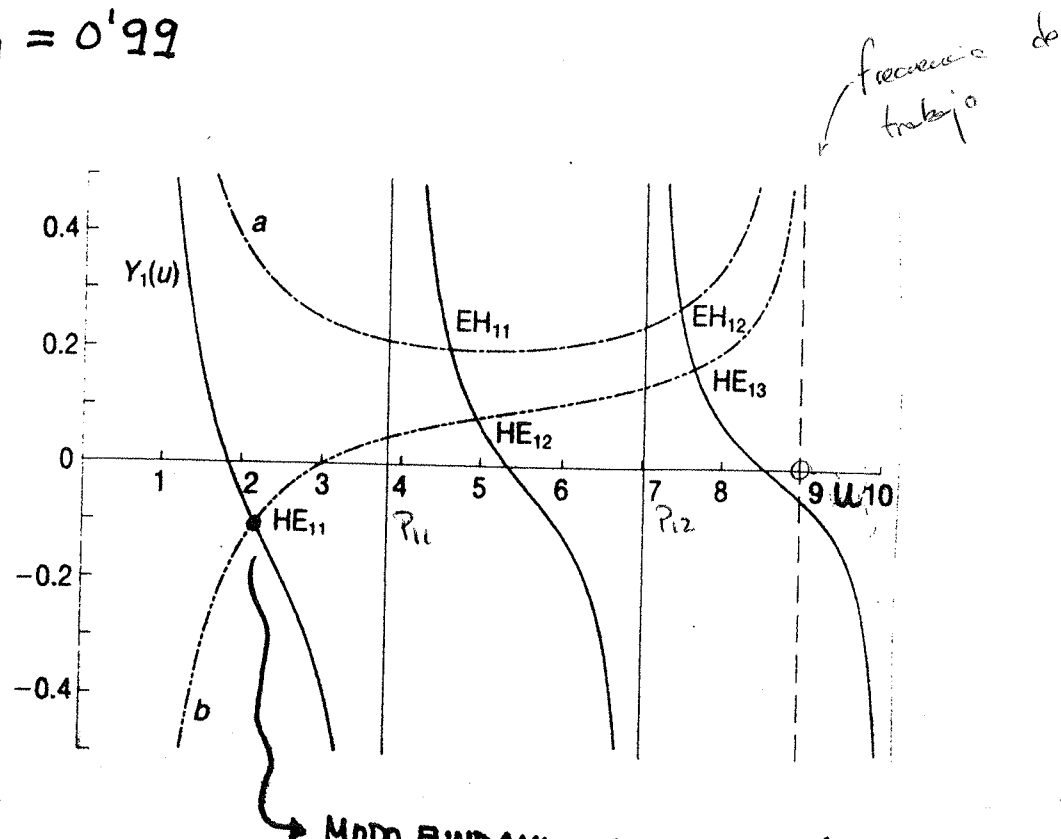
PARA SOLUCIÓN GRÁFICA : REPRESENTAMOS AMBOS LADOS DE LA IGUALDAD
Y BUSCAMOS PUNTOS DE CORTE

EJEMPLO

$n=1 \rightarrow$ MODOS EH_{1m}, HE_{1m}

$$V = V_0 = 9$$

$$\epsilon_2/\epsilon_1 = 0.99$$



MODO FUNDAMENTAL DE LA FIBRA

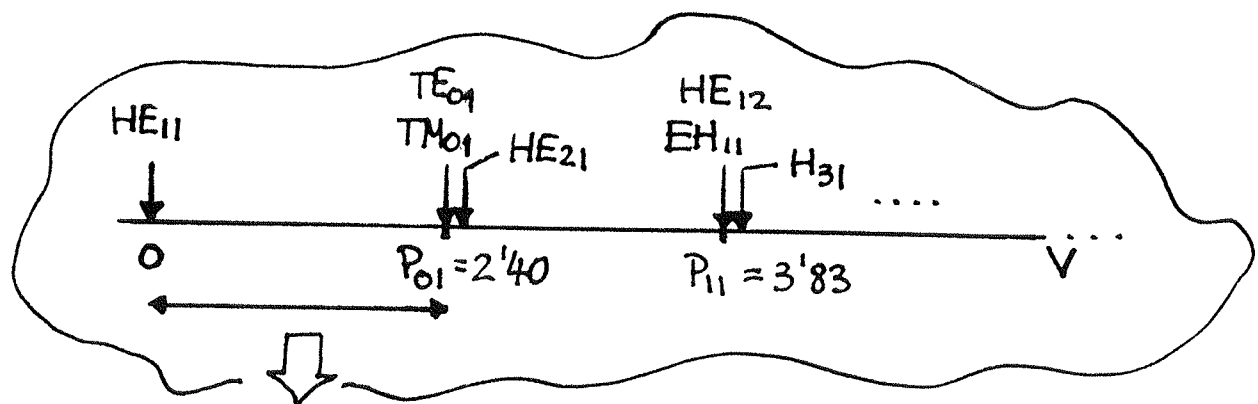
NO TIENE FRECUENCIA DE CORTE

FRECUENCIAS DE CORTE DE LOS MODOS HÍBRIDOS

$EH_{n,m}$	$\xrightarrow{ }$	$\underline{\underline{V_C}}$	$P_{n,m}$
HE	$ $	$HE_{11} \xrightarrow{ } 0$	
		$HE_{1m} \xrightarrow{ } P_{1,m-1}$	
		$HE_{nm} \rightarrow \approx P_{n-2,m}$	(CUANDO $\epsilon_2/\epsilon_1 \rightarrow 1$) ($n > 2$)

EL MODO FUNDAMENTAL : (HE_{11})

DISTRIBUCIÓN DE LAS FRECUENCIAS DE CORTE
DE LOS PRIMEROS MODOS :

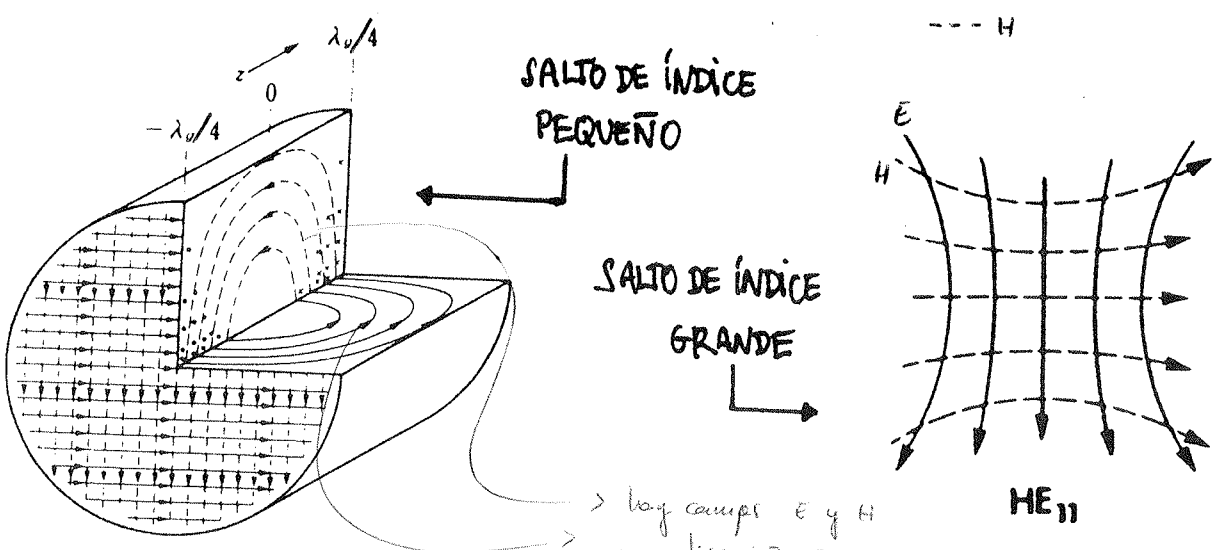


RANGO DE FUNCIONAMIENTO MONOMODO :

$$0 < V < 2'4$$

$$(V = \frac{2\pi a}{c} f \sqrt{n_1^2 - n_2^2})$$

ESTRUCTURA DEL MODO HE_{11}



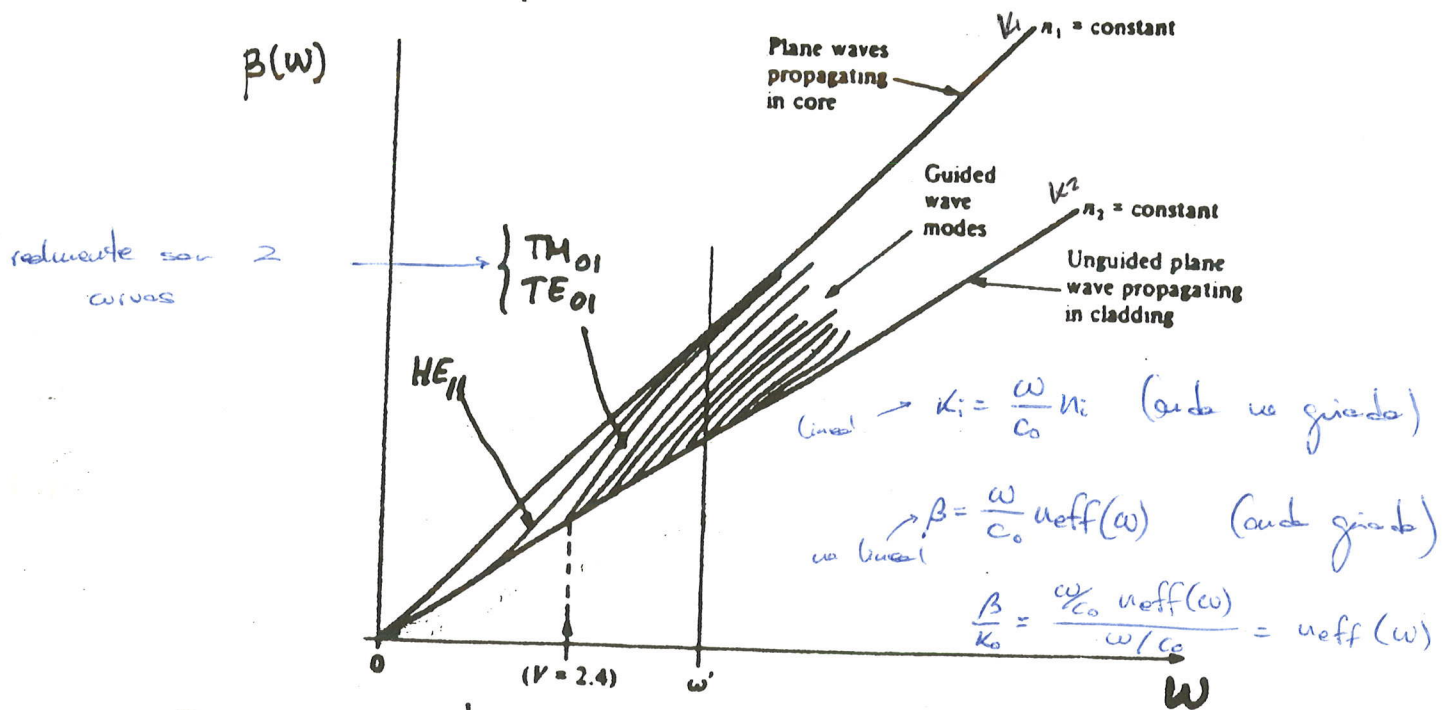
RECORDEMOS QUE EXISTEN EN REALIDAD 2 MODOS
DEGENERADOS GIRADOS 0° y 90°.

"CUALQUIER GIRO DEL DIRECCIÓN DE CAMPOS TAMBÍEN ES SOLUCIÓN"

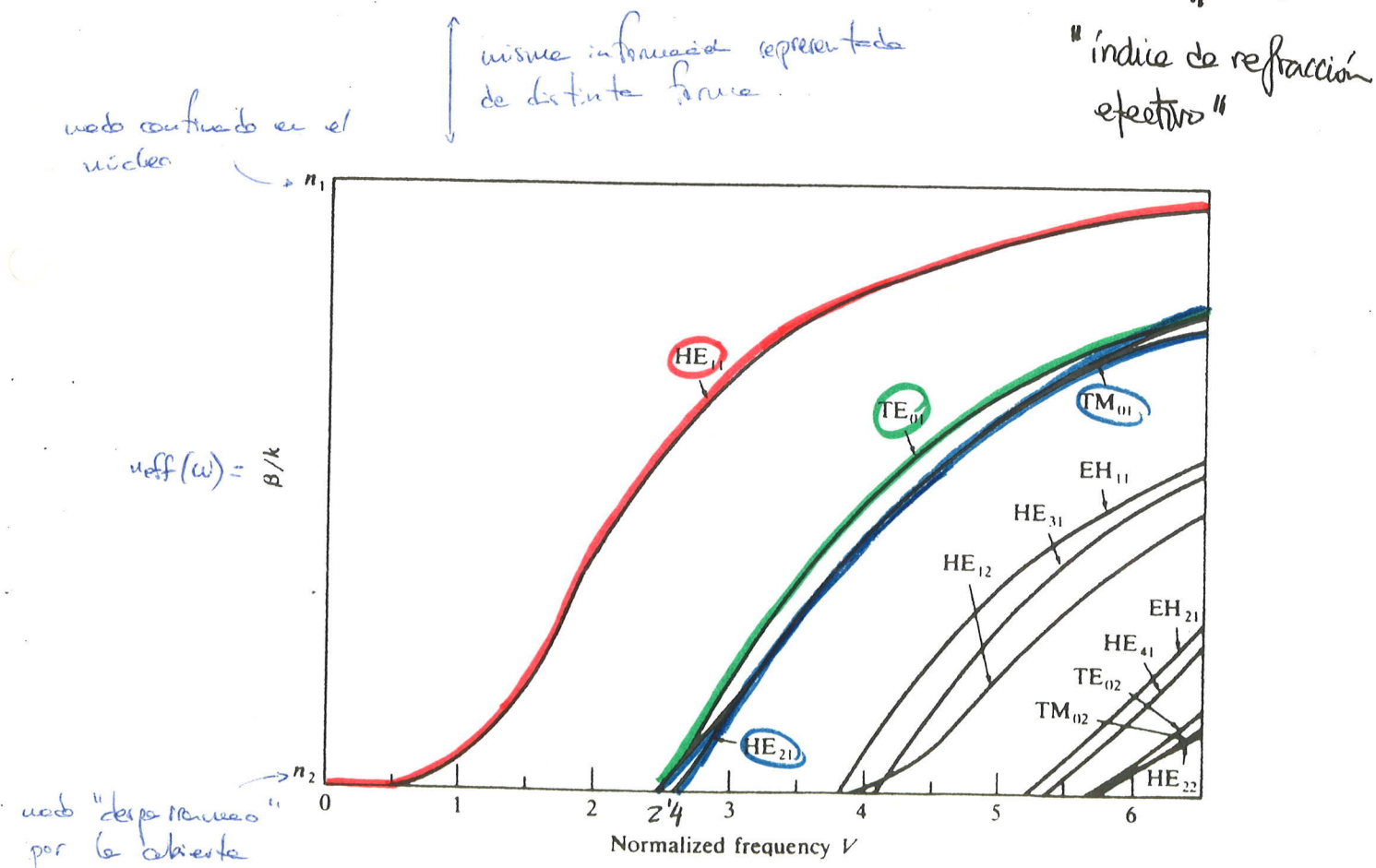
DIAGRAMAS DE DISPERSIÓN DE LOS MODOS

CONOCIDOS U Y W OBTENEMOS β DE CADA MODO

REPRESENTACIÓN $\beta(\omega) \times \omega$



REPRESENTACIÓN ALTERNATIVA : $\beta/k_0 \times \omega \rightarrow n_{\text{eff}}(\omega) \times \omega$



FIBRA DE SALTO DE ÍNDICE PEQUEÑO

SON LAS UTILIZADAS EN TELECOMUNICACIONES POR PRESENTAR DISPERSIÓN REDUCIDA :

$$n_1 \approx n_2$$

VALORES TÍPICOS : $n_1 - n_2 \approx 0'001 \dots 0'02$

APROXIMACIÓN DE "GUIADO DÉBIL"



SIMPLIFICACIÓN DEL ANÁLISIS MODAL :

EC. DISPERSIÓN TE_{0m}

$$\gamma_0(u) + X_0(w) = 0$$

EC. DISPERSIÓN TM_{0m}

$$\gamma_0(u) + \frac{\epsilon_2}{\epsilon_1} X_0(w) = 0$$

$$\epsilon_2/\epsilon_1 \rightarrow 1$$

MISMA ECUACIÓN PARA TE_{0m} y TM_{0m} \Rightarrow DEGENERADOS,

(MISMA V_c, MISMA P)

$$\frac{-J_1(u)}{u J_0(u)} = \frac{K_1(w)}{w K_0(w)}$$

EC. DE DISPERSIÓN PARA LOS MODOS HÍBRIDOS ($n \geq 1$)

$$[\gamma_n(u) + X_n(w)] [\gamma_n(u) + \frac{\epsilon_2}{\epsilon_1} X_n(w)] = n^2 \left[\frac{1}{u^2} + \frac{1}{w^2} \right] \left[\frac{1}{u^2} + \frac{\epsilon_2^2}{\epsilon_1^2} \frac{1}{w^2} \right]$$

$$\epsilon_2/\epsilon_1 \rightarrow 1$$

$$\gamma_n(u) + X_n(w) = \pm n \left[\frac{1}{u^2} + \frac{1}{w^2} \right]$$

signo + : EH

signo - : HE

USANDO PROPIEDADES DE J, K

EH

$$\frac{-J_{n+1}(u)}{u J_n(u)} = \frac{K_{n+1}(u)}{w K_n(w)}$$

HE

$$\frac{-J_{n-1}(u)}{u J_{n-2}(u)} = \frac{K_{n-1}(w)}{w K_{n-2}(w)}$$

SE OBSERVA : { HE_{2m}, TE_{0m}, TM_{0m} } \rightarrow DEGENERADOS

{ HE_{n+1,m}, EH_{n-1,m} } \rightarrow DEGENERADOS ($n \geq 2$)

APARECEN 3 FAMILIAS DE MODOS DEGENERADOS :

$$\{ TE_{0m} \quad TM_{0m} \quad HE_{2m} \}$$

$$\{ EH_{n-1m}, \quad HE_{n+1m} \quad (n \geq 2) \}$$

$$\{ HE_{1m} \}$$

VAMOS A DENOMINARLOS DE OTRA FORMA :

PARA ELLO EXPRESAMOS LA ECUACIÓN DE DISPERSIÓN UNIFICADA

$$\frac{-J_l(u)}{u J_{l-1}(u)} = \frac{K_l(w)}{w K_{l-1}(w)}$$

$$, l = \begin{cases} 1 & TE_{0m} \quad TM_{0m} \\ n+1 & EH_{nm} \\ n-1 & HE_{nm} \end{cases}_{n \geq 1}$$

MODOS CON LA MISMA " l, m " CUMPLEN

LA MISMA ECUACIÓN

SON DEGENERADOS

LOS RENOMBRAMOS :

MODOS \tilde{LP}_{lm}

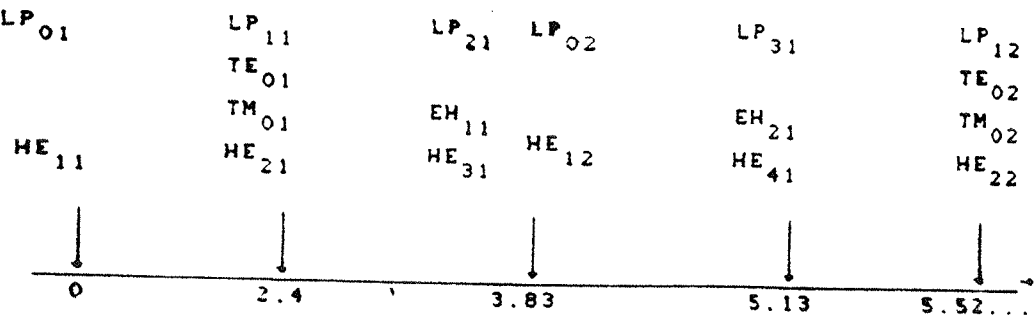
"LINEARLY
POLARIZED"

AGRUPAMIENTO

	NOMBRE TRADICIONAL	NUEVO	Nº MODOS DEGENERADOS	V_c
$l=0$	HE_{1m}	LP_{0m}	2	$O \quad (m=1)$ $P_{1m-1} \quad (m \geq 1)$
$l=1$	$TE_{0m} \quad TM_{0m} \quad HE_{2m}$	LP_{1m}	4	P_{l-1m}
$l \geq 2$	$EH_{l-1m} \quad HE_{l+1m}$	LP_{lm}	4	

alto de índice pequeño \Rightarrow horizontalmente polarizado

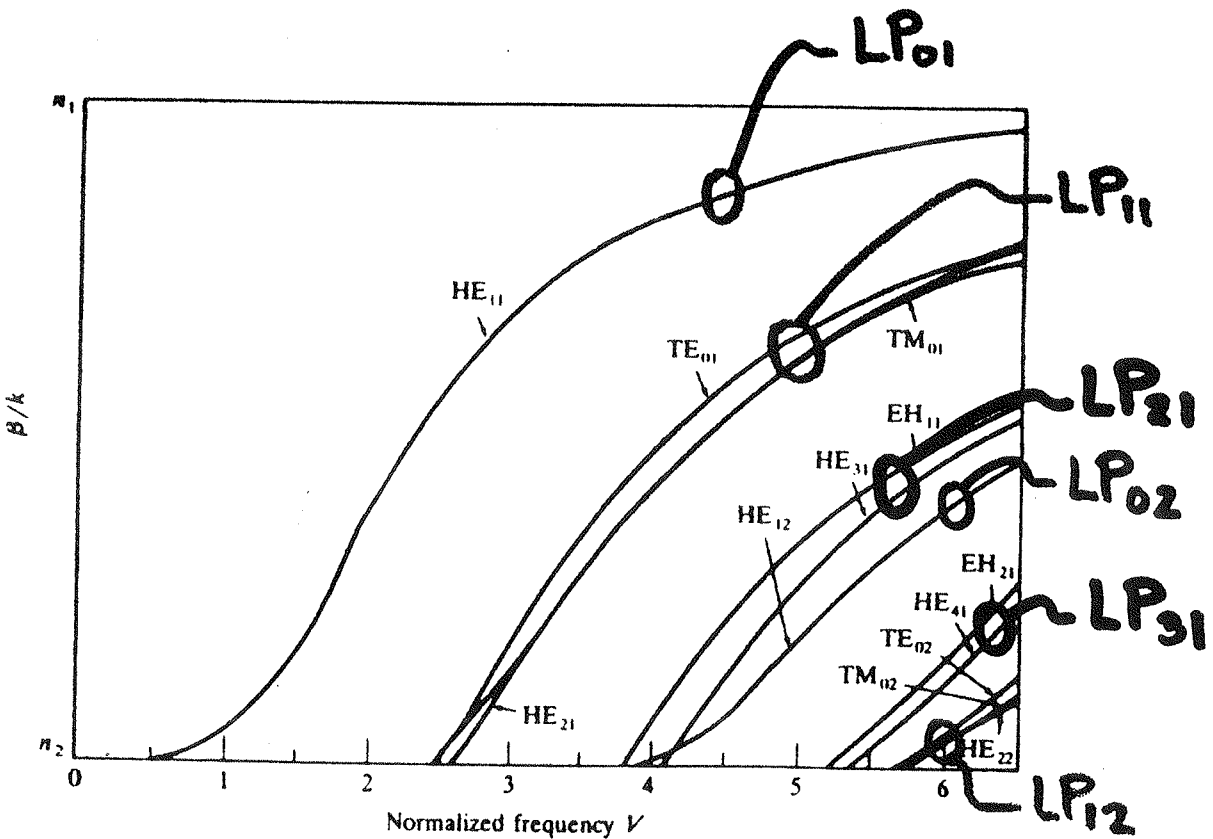
DISTRIBUCIÓN DE LAS FRECUENCIAS DE CORTE



MODO FUNDAMENTAL : LP₀₁
 1^{er} MODO SUPERIOR : LP₁₁} RANGO MONOMODO
 } 0 < V < 2'4

DIAGRAMA DE DISPERSIÓN

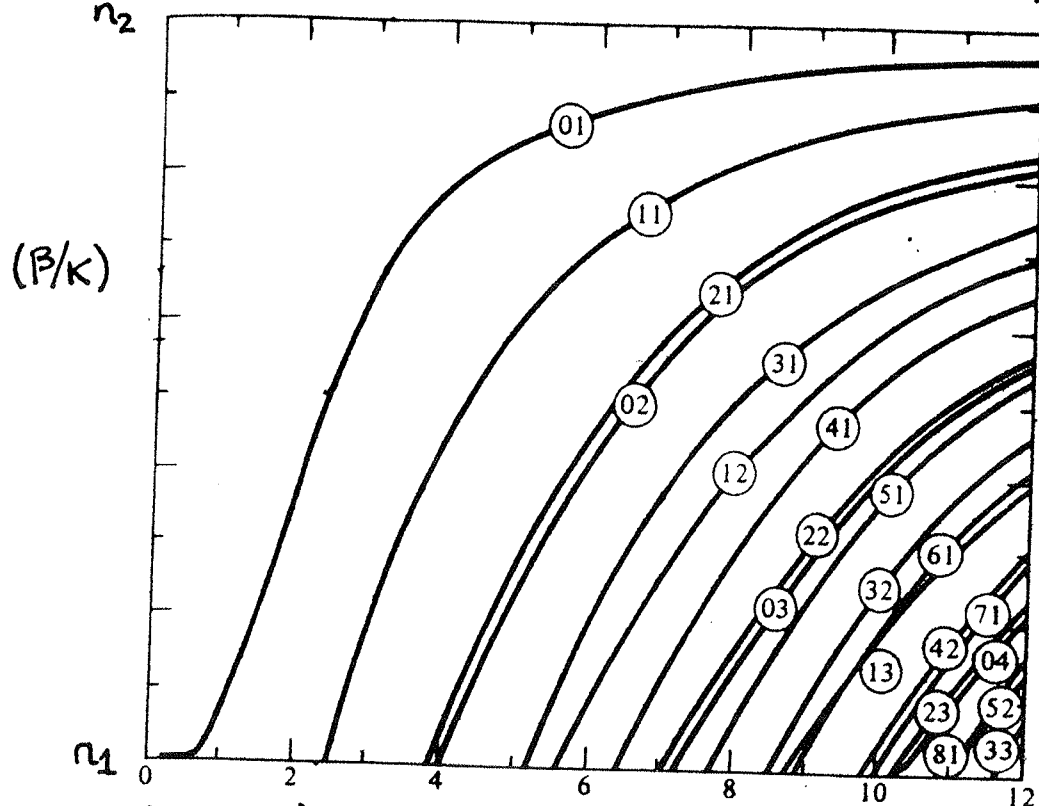
no cambia al despegarse ($\epsilon_2 = \epsilon_1$)



APROXIMACIÓN DE BAJO GUIADO → DEGENERACIÓN DE MODOS

→ AGRUPACIÓN DE LAS CURVAS $\beta(\omega) \times \omega$ CORRESPONDIENTES.

CON LO QUE QUEDA UN DIAGRAMA DE ESTE ASPECTO :



CONFIGURACIONES DE CAMPO (GUIADO DÉBIL)

MATRIZ DE CONDICIONES DE CONTORNO → RELACIONES ENTRE A_1, B_1, A_2, B_2

- CONOCIDAS E_{zi}, H_{zi} → CALCULAMOS LAS TRANSVERSALES
- INTERESA EXPRESAR LOS CAMPOS EN COORDENADAS CARTESIANAS
(para ver mejor la polarización) →

$$\begin{aligned} E_x &= E_{x\text{real}} - E_{x\text{cort}} \\ E_y &= E_{y\text{real}} + E_{y\text{cort}} \end{aligned}$$



PERMITEN RECONOCER

POLARIZACIONES LINEALES

RELACIONES

$$\frac{A_1}{B_1} = \mp j \sqrt{\frac{\mu_0}{\epsilon_1}} = \mp j \gamma_1 \quad - \Rightarrow EH \quad + \Rightarrow HE$$

$$\frac{A_2}{B_2} = \mp j \sqrt{\frac{\mu_0}{\epsilon_2}} = \mp j \gamma_2$$

$$\frac{A_1}{A_2} = \frac{K_n(w)}{J_n(w)}$$

CONOCIDA UNA DE ELLAS
(EXCITACIÓN) →

SE OBTIENE EL RESTO.

LOS RESULTADOS PARA LOS CAMPOS TRANSVERSALES E_x, E_y SON
(EN EL NÚCLEO)

TE_{om}

$$E_x = E_0 J_1(u\bar{r}) \operatorname{sen} \phi$$

$$E_y = -E_0 J_1(u\bar{r}) \cos \phi$$

TM_{om}

$$E_x = E_0 J_1(u\bar{r}) \cos \phi$$

$$E_y = E_0 J_1(u\bar{r}) \operatorname{sen} \phi$$

$$\left(\bar{r} = \frac{r}{a}\right)$$

HÍBRIDOS HE_{nm}

$$E_x = E_0 J_{n-1}(u\bar{r}) \begin{cases} \operatorname{sen}[(n-1)\phi] \\ \cos[(n-1)\phi] \end{cases}$$

$$E_y = E_0 J_{n-1}(u\bar{r}) \begin{cases} \cos[(n-1)\phi] \\ -\operatorname{sen}[(n-1)\phi] \end{cases}$$

2 MODOS
ORTOGONALES

HÍBRIDOS EH_{nm}

$$E_x = E_0 J_{n+1}(u\bar{r}) \begin{cases} -\operatorname{sen}[(n+1)\phi] \\ \cos[(n+1)\phi] \end{cases}$$

$$E_y = E_0 J_{n+1}(u\bar{r}) \begin{cases} \cos[(n+1)\phi] \\ \operatorname{sen}[(n+1)\phi] \end{cases}$$

{ y $E_z, H_z?$ } LOS MODOS SON \approx TEM (ONDA PLANA)
 { y $H_x, H_y?$ } $\Rightarrow |E_t| \gg |E_z|, |H_t| \gg |H_z|$

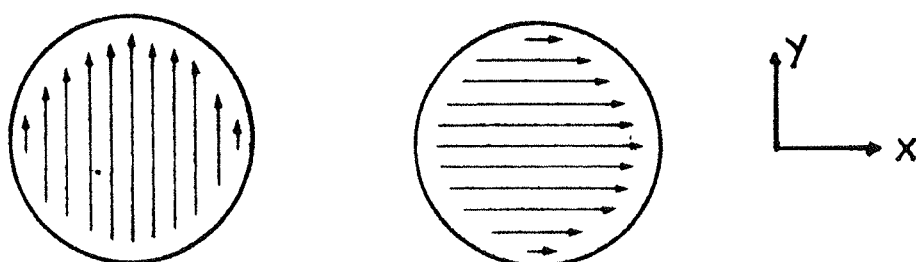
$$\bullet E_t \perp H_t$$

BASTA REPRESENTAR
 E_t

{ y LOS CAMPOS EN LA CUBIERTA?

MODOS HE_{1m} (LP_{0m}) SON LINEALMENTE POLARIZADOS

EJEMPLO : HE_{11} (LP_{01})



(2 MODOS CON POLARIZACIONES ORTOGONALES)

MODOS LP_{1m} : ENGLOBAN CUALQUIER COMBINACIÓN LINEAL

DE LOS MODOS DEGENERADOS TE_{0m} , TM_{0m} , HE_{2m}

LP_{1m}
COMBINACIONES
LINEALES DE

TE_{0m}
 TM_{0m}
 HE_{2m}
 HE'_{2m}

PERO PODEMOS USAR
OTRO SET DE MODOS
OBTENIDOS POR C. L.
DE ESTOS ANTERIORES

$HE_{2m} + TE_{0m}$
 $HE'_{2m} + TM_{0m}$
 $HE_{2m} - TE_{0m}$
 $HE'_{2m} - TM_{0m}$

ii ESTOS "NUEVOS" MODOS SON
LINEALMENTE POLARIZADOS !!

« LOS MODOS LP_{1m} ESTÁN FORMADOS POR COMBINACIONES
LINEALES DE MODOS LINEALMENTE POLARIZADOS »

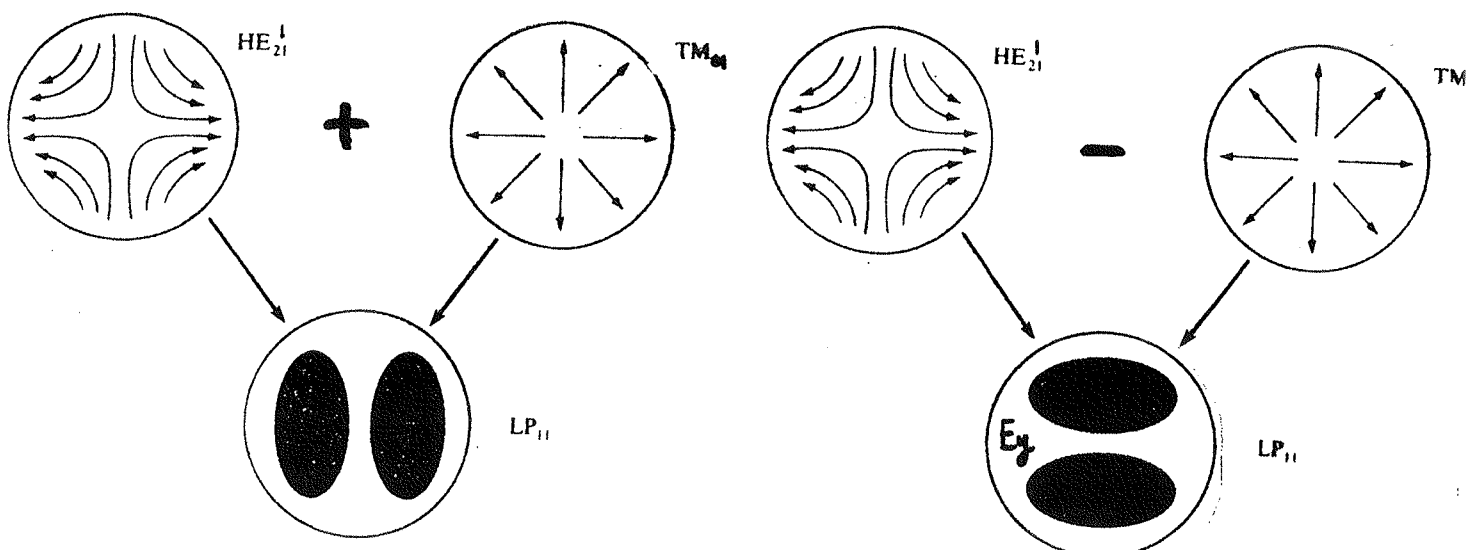
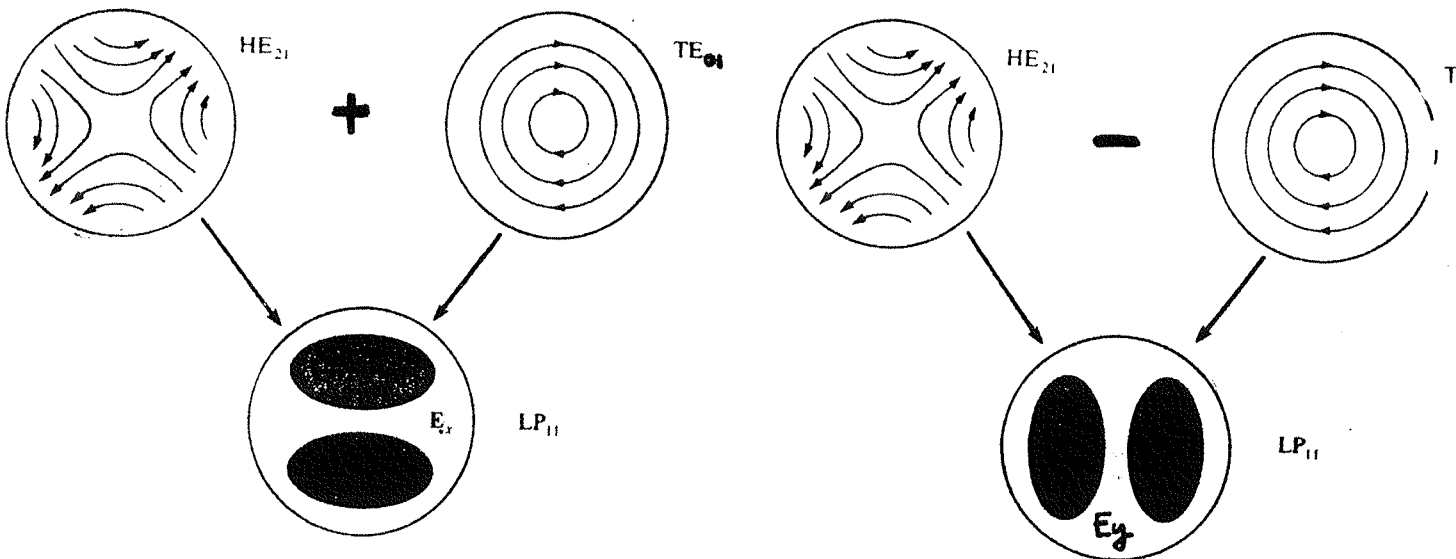
MODOS LP_{nm} ($n \geq 2$) : OCURRE LO MISMO.

EN LUGAR DE UTILIZAR LOS
CUATRO DE PARTIDA:

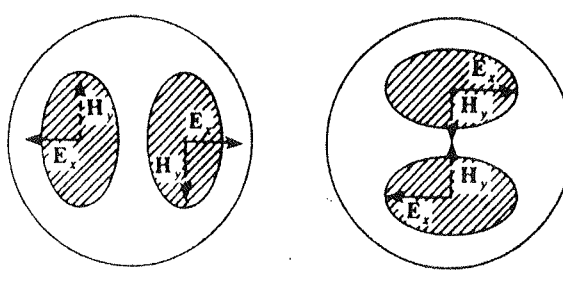
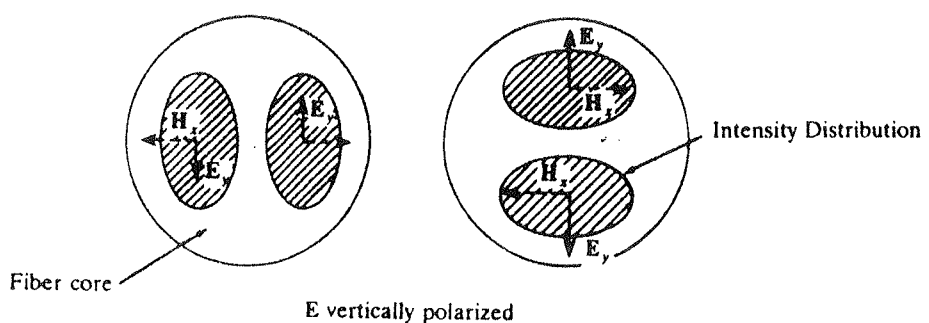
$[HE_{l-1,m} \quad HE_{l+1,m}]$
 $[EU'_l \quad UE'_l]$

SE UTILIZAN OTROS 4 CON
POLARIZACIÓN LINEAL OBTENIDOS
POR C. L. DE LOS ANTERIORES

EJEMPLO : OBTENCIÓN DE LOS 4 MODOS LINEALMENTE POLARIZADOS CORRESPONDIENTES AL MODO LP_{11}



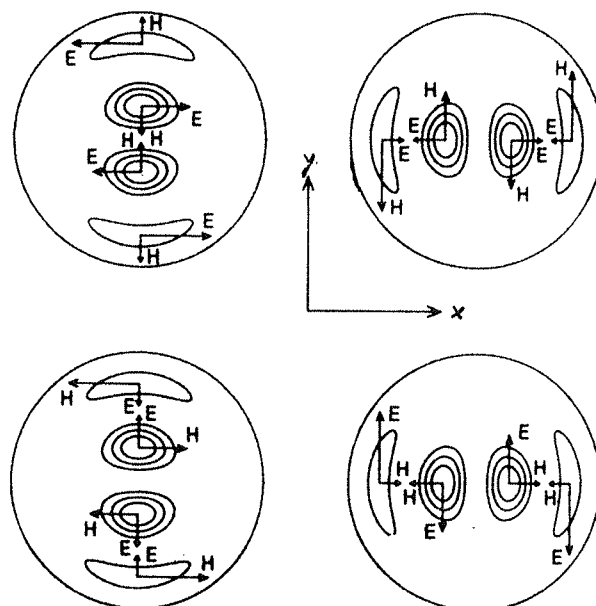
QUEDAN ASÍ ↗



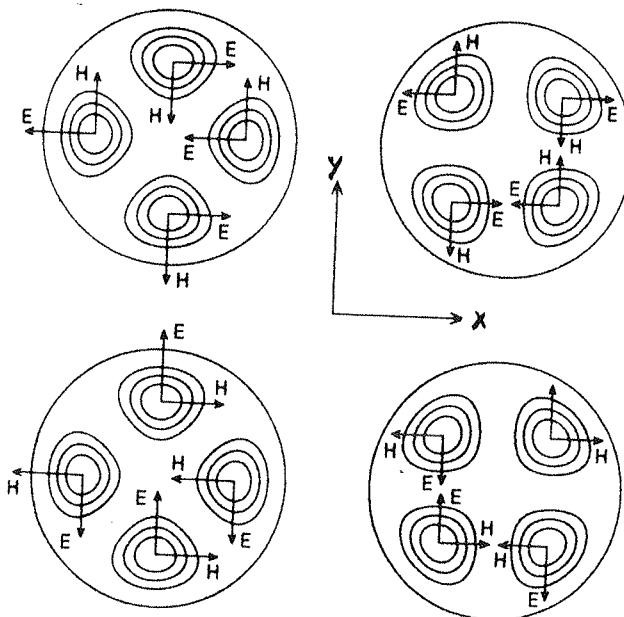
The four possible transverse electric field and magnetic field directions are shown, along with the corresponding intensity distributions for the LP_{11} mode.

CAMPOS E, H TRANSVERSALES Y DISTRIBUCIÓN DE INTENSIDAD
PARA LOS 4 MODOS LINEALMENTE POLARIZADOS CORRESPONDIENTES
A LP_{12} LP_{21} .

LP_{12}



LP_{21}



MODO FUNDAMENTAL : LP₀₁

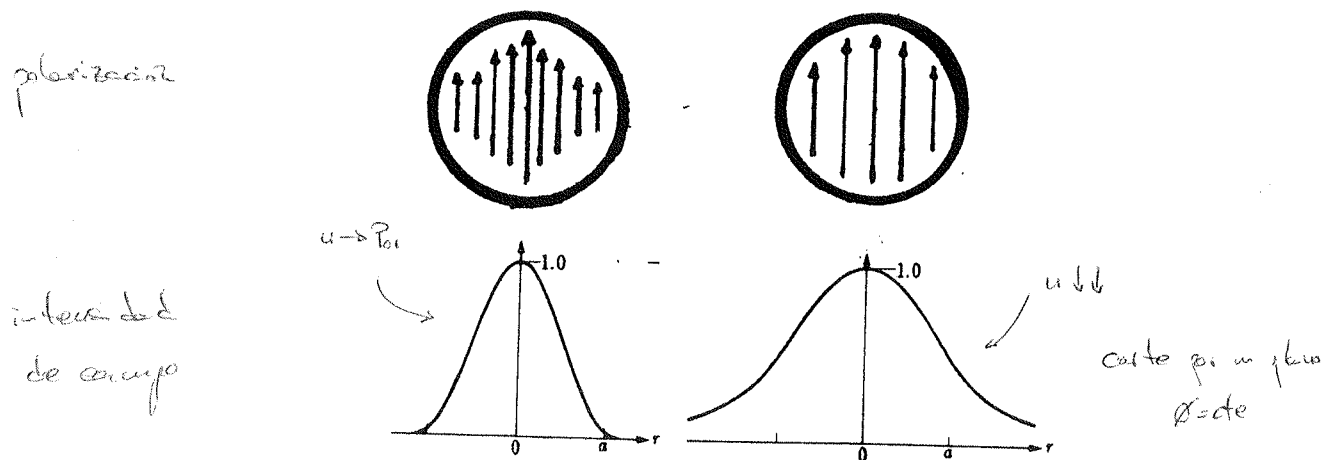
CAMPO TRANSVERSAL :

$$E_y = \begin{cases} E_0 J_0(u\bar{r}) & \text{NÚCLEO} \\ E_0 \frac{J_0(u)}{K_0(u)} K_0(w\bar{r}) & \text{CUBIERTA} \end{cases}$$

+

SU ORTOGONAL (DIR \hat{x})

DONDE $0 < u < P_{01}$ → "PERFIL" ($P_{01} = 2^{14}$)



INTENSIDAD DE CAMPO \approx GAUSSIANA}

POLARIZACIÓN → LINEAL

UNA FUENTE LÁSER EMITE LUZ

CON PERFIL \approx GAUSSIANO Y

POLARIZACIÓN LINEAL

→ ¡PERFECTO!

PROPIEDADES DE LAS FUNCIONES DE BESSSEL

$$J_{n+1}(u) + J_{n-1}(u) = \frac{2n}{u} J_n(u)$$

$$K_{n+1}(w) - K_{n-1}(w) = \frac{2n}{w} K_n(w)$$

$$J_{-n} = (-1)^n J_n$$

$$K_{-n} = K_n$$

$$2 J'_n = J_{n-1} - J_{n+1}$$

$$-2 K'_n = K_{n-1} + K_{n+1}$$

MODOS TM

(GUÍA SLAB)

$$\Delta \bar{H}_i = \mu_0 \epsilon_i \frac{\partial^2 \bar{H}_i}{\partial t^2}$$

TM PARES

TM IMPARES

$$H_{1y}(x) = A \cos(u\bar{x})$$

$$H_{1y}(x) = A \sin(u\bar{x})$$

$$H_{2y}(x) = \frac{A \cos(u)}{e^{-w}} e^{-w|\bar{x}|}$$

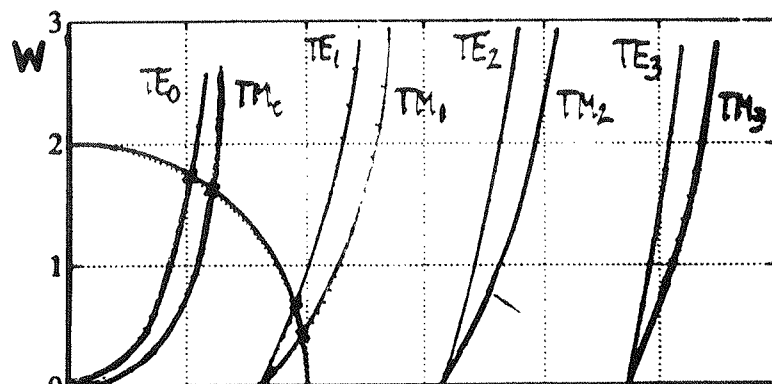
$$H_{2y}(x) = \frac{A \sin(u)}{e^{-w} \operatorname{sign}(u)} e^{-w|\bar{x}|}$$

$$(\epsilon_2/\epsilon_1) u \operatorname{tg}(u) = w$$

$$-(\epsilon_2/\epsilon_1) u \operatorname{cotg}(u) = w$$

$$u^2 + w^2 = v^2$$

$$u^2 + w^2 = v^2$$



- Conceptos finales:

Analogía entre análisis modal y espacio vectorial (base de)

Espacio vectorial



Análisis modal

modo = vector

modo = vector de la base

Análisis modal = obtener la base de un espacio vectorial

A una frecuencia fija tenemos por ejemplo 2 modos, eso significa que se pueden proponer todas las ondas que sean combinación lineal de ambos modos.

Si la frecuencia sube, aumenta el número de modos, y con él la dimensión del espacio vectorial.

GRADIENTE, DIVERGENCIA, ROTACIONAL Y
LAPLACIANO EN COORDENADAS
RECTANGULARES, CILINDRICAS, ESFERICAS
Y CURVILINEAS GENERALES
(Véanse también Apéndices A-16 y A-17.)

Coordenadas esféricas

$$\begin{aligned}\nabla f &= \hat{\mathbf{r}} \frac{\partial f}{\partial r} + \hat{\theta} \frac{1}{r} \frac{\partial f}{\partial \theta} + \hat{\phi} \frac{1}{r \sin \theta} \frac{\partial f}{\partial \phi} \\ \nabla \cdot \mathbf{A} &= \frac{1}{r^2} \frac{\partial}{\partial r} r^2 A_r + \frac{1}{r \sin \theta} \frac{\partial}{\partial \theta} (A_\theta \sin \theta) + \frac{1}{r \sin \theta} \frac{\partial A_\phi}{\partial \phi} \\ \nabla \times \mathbf{A} &= \hat{\mathbf{r}} \frac{1}{r \sin \theta} \left[\frac{\partial}{\partial \theta} (A_\phi \sin \theta) - \frac{\partial A_\theta}{\partial \phi} \right] + \hat{\theta} \frac{1}{r} \left(\frac{1}{\sin \theta} \frac{\partial A_r}{\partial \phi} - \frac{\partial A_\phi}{\partial r} \right) \\ &\quad + \hat{\phi} \frac{1}{r} \left(\frac{\partial}{\partial r} r A_\theta - \frac{\partial A_r}{\partial \theta} \right) \\ \nabla^2 f &= \frac{1}{r^2} \frac{\partial}{\partial r} \left(r \frac{\partial f}{\partial r} \right) + \frac{1}{r^2 \sin \theta} \frac{\partial}{\partial \theta} \left(\sin \theta \frac{\partial f}{\partial \theta} \right) + \frac{1}{r^2 \sin^2 \theta} \frac{\partial^2 f}{\partial \phi^2}\end{aligned}$$

Coordenadas curvilineas generales

$$\begin{aligned}\nabla f &= \hat{\mathbf{x}}_1 \frac{1}{h_1} \frac{\partial f}{\partial \mathbf{x}_1} + \hat{\mathbf{x}}_2 \frac{1}{h_2} \frac{\partial f}{\partial \mathbf{x}_2} + \hat{\mathbf{x}}_3 \frac{1}{h_3} \frac{\partial f}{\partial \mathbf{x}_3} \\ \nabla \cdot \mathbf{A} &= \frac{1}{h_1 h_2 h_3} \left(\frac{\partial}{\partial \mathbf{x}_1} h_2 h_3 A_1 + \frac{\partial}{\partial \mathbf{x}_2} h_3 h_1 A_2 + \frac{\partial}{\partial \mathbf{x}_3} h_1 h_2 A_3 \right) \\ \nabla \times \mathbf{A} &= \hat{\mathbf{x}}_1 \frac{1}{h_2 h_3} \left[\frac{\partial}{\partial \mathbf{x}_2} h_3 A_3 - \frac{\partial}{\partial \mathbf{x}_3} h_2 A_2 \right] + \hat{\mathbf{x}}_2 \frac{1}{h_3 h_1} \left(\frac{\partial}{\partial \mathbf{x}_3} h_1 A_1 - \frac{\partial}{\partial \mathbf{x}_1} h_3 A_3 \right) \\ &\quad + \hat{\mathbf{x}}_3 \frac{\partial}{h_1 h_2} \left(\frac{\partial}{\partial \mathbf{x}_1} h_2 A_2 - \frac{\partial}{\partial \mathbf{x}_2} h_1 A_1 \right) \\ \nabla^2 f &= \frac{1}{h_1 h_2 h_3} \left[\frac{\partial}{\partial \mathbf{x}_1} \left(\frac{h_2 h_3}{h_1} \frac{\partial f}{\partial \mathbf{x}_1} \right) + \frac{\partial}{\partial \mathbf{x}_2} \left(\frac{h_3 h_1}{h_2} \frac{\partial f}{\partial \mathbf{x}_2} \right) + \frac{\partial}{\partial \mathbf{x}_3} \left(\frac{h_1 h_2}{h_3} \frac{\partial f}{\partial \mathbf{x}_3} \right) \right]\end{aligned}$$

Coordenadas rectangulares

$$\begin{aligned}\nabla f &= \hat{\mathbf{x}} \frac{\partial f}{\partial x} + \hat{\mathbf{y}} \frac{\partial f}{\partial y} + \hat{\mathbf{z}} \frac{\partial f}{\partial z} \\ \nabla \cdot \mathbf{A} &= \frac{\partial A_x}{\partial x} + \frac{\partial A_y}{\partial y} + \frac{\partial A_z}{\partial z} \\ \nabla \times \mathbf{A} &= \hat{\mathbf{x}} \left(\frac{\partial A_z}{\partial y} - \frac{\partial A_y}{\partial z} \right) + \hat{\mathbf{y}} \left(\frac{\partial A_x}{\partial z} - \frac{\partial A_z}{\partial x} \right) + \hat{\mathbf{z}} \left(\frac{\partial A_y}{\partial x} - \frac{\partial A_x}{\partial y} \right) \\ \nabla^2 f &= \frac{\partial^2 f}{\partial x^2} + \frac{\partial^2 f}{\partial y^2} + \frac{\partial^2 f}{\partial z^2}\end{aligned}$$

Coordenadas cilindricas

$$\begin{aligned}\nabla f &= \hat{\mathbf{r}} \frac{\partial f}{\partial r} + \hat{\phi} \frac{1}{r} \frac{\partial f}{\partial \phi} + \hat{\mathbf{z}} \frac{\partial f}{\partial z} \\ \nabla \cdot \mathbf{A} &= \frac{1}{r} \frac{\partial}{\partial r} r A_r + \frac{1}{r} \frac{\partial A_\phi}{\partial \phi} + \frac{\partial A_z}{\partial z} \\ \nabla \times \mathbf{A} &= \hat{\mathbf{r}} \left(\frac{1}{r} \frac{\partial A_z}{\partial \phi} - \frac{\partial A_\phi}{\partial z} \right) + \hat{\phi} \left(\frac{\partial A_r}{\partial z} - \frac{\partial A_z}{\partial r} \right) + \hat{\mathbf{z}} \frac{1}{r} \left(\frac{\partial}{\partial r} r A_\phi - \frac{\partial A_\phi}{\partial r} \right) \\ \nabla^2 f &= \frac{1}{r} \frac{\partial}{\partial r} \left(r \frac{\partial f}{\partial r} \right) + \frac{1}{r^2} \frac{\partial^2 f}{\partial \phi^2} + \frac{1}{r^2} \frac{\partial^2 f}{\partial z^2} = \frac{\partial^2 f}{\partial r^2} + \frac{1}{r} \frac{\partial f}{\partial r} + \frac{1}{r^2} \frac{\partial^2 f}{\partial \phi^2} + \frac{\partial^2 f}{\partial z^2}\end{aligned}$$

Rectangulares	$\begin{vmatrix} 1 & 1 & 1 & x & y & z \\ 1 & r & 1 & r & \phi & z \\ 1 & r & r \sin \theta & r & \theta & \phi \end{vmatrix}$
Cilindricas	
Esféricas	

Analysis of the slab waveguide

Rayleigh scattering of light originated from small inhomogeneities in material density or composition of the medium. Strictly speaking, therefore, glass is not homogeneous; nevertheless, any imperfections will be ignored and the glass assumed to be homogeneous. Of course, this model, like all models, is only a representation of reality. Moreover, the medium is assumed to be isotropic, linear and time invariant. Hereafter, it will be assumed that the electrical properties of such materials can be described by the permittivity ϵ , the permeability μ and the conductivity σ .

Wave optics

If ϵ , μ and σ for the material are known, then Maxwell's equations are a good starting point for analyzing the propagation of light in glass under the name of wave optics. This powerful method can solve the problem of propagating electromagnetic waves in step index optical waveguides. If the thickness of the core of the optical waveguide is of the order of the wavelength, then the propagation can be described with a few modes that are characteristic of the optical waveguide and the wavelength of the light. If, on the other hand, the core radius is large compared to the wavelength, then many propagating modes are possible. In that instance, it will be more effective to solve the problem with the help of geometric optics.

Geometric optics
 The building blocks used in optics include lenses, prisms and mirrors. The dimensions of these are usually large compared to the wavelength of the light. If this is the case, an approximating method can be used to study and describe propagation of the light. The geometric optics or ray optics method uses the language of geometry in order to formulate the laws of optics. In geometric optics, the concept of light rays is introduced in order to describe optical phenomena. The paths taken by the light rays in heterogeneous media are derived from the so-called eikonal equation that is introduced in Chapter 6, when the graded index optical waveguide is discussed.

2.2 The slab waveguide analyzed with wave optics

An insight into the relationship between the mathematical analysis and the physical interpretation of the fields and waves in glassfibers of the step index type requires, firstly, consideration of a slab waveguide. The phenomena that occur in this case are mainly analogous to those in round glassfibers and the analysis is less complex. The assumed structure is drawn in Figure 2.1, and the slab waveguide is assumed to be infinitely extended in the x - and y -directions. Medium 1, between the interfaces $x = -a$ and $x = a$, is enclosed on both sides by the optically less dense medium 2. Both media are assumed to be homogeneous and isotropic. Since the materials are non-magnetic, it is assumed

In this chapter attention will be paid to the propagation of harmonic waves in step slab waveguides in order to introduce the treatment of properties of index optical waveguides. In addition, it is worthwhile studying the properties of slab waveguides themselves, because they play an important role in the technology of integrated optics.

2.1 Theoretical models

The distances between atoms in glass are of the order of 0.1 nm, which is small compared to the wavelength of light that is used in optical communications (these wavelengths are of the order of 1000 nm). In this respect, glass is

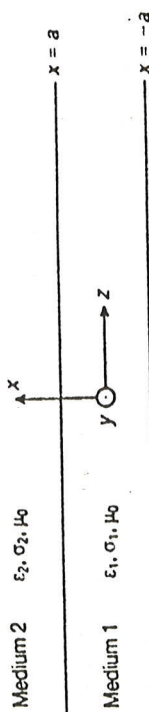


Figure 2.1 Slab waveguide.

that the magnetic permeability μ has the free space value μ_0 . The permittivity, conductivity and permeability of medium 1 are denoted by ϵ_1 , σ_1 and μ_0 , respectively, and similarly for medium 2: ϵ_2 , σ_2 and μ_0 . Maxwell's equations are taken as the starting point for the analyses:

$$\nabla \times \mathbf{E} = -\frac{\partial \mathbf{B}}{\partial t} = -\mu_0 \frac{\partial \mathbf{H}}{\partial t} \quad (2.1)$$

$$\nabla \times \mathbf{H} = \frac{\partial \mathbf{D}}{\partial t} + \mathbf{J} = \epsilon \frac{\partial \mathbf{E}}{\partial t} + \sigma \mathbf{E} \quad (2.2)$$

The magnetic field vector can be eliminated from these two equations by multiplication of equation (2.1) by the vector operator ∇ , in order to give

$$\nabla \times \nabla \times \mathbf{E} = -\mu_0 \frac{\partial}{\partial t} (\nabla \times \mathbf{H}) \quad (2.3)$$

Developing the left-hand side of equation (2.3) and substituting equation (2.2) in the right-hand side leads to

$$\nabla(\nabla \cdot \mathbf{E}) - \nabla^2 \mathbf{E} = -\mu_0 \epsilon \frac{\partial^2 \mathbf{E}}{\partial t^2} - \mu_0 \sigma \frac{\partial \mathbf{E}}{\partial t} \quad (2.4)$$

It is assumed that there are no free charges, so that $\nabla \cdot \mathbf{D} = 0$, therefore $\nabla(\epsilon \mathbf{E}) = \epsilon(\nabla \cdot \mathbf{E}) + (\nabla \epsilon) \mathbf{E} = 0$. For a homogeneous, isotropic medium, $\nabla \epsilon = 0$, and thus $\nabla \cdot \mathbf{E} = 0$, resulting in the wave equation

$$\nabla^2 \mathbf{E} = \mu_0 \epsilon \frac{\partial^2 \mathbf{E}}{\partial t^2} + \mu_0 \sigma \frac{\partial \mathbf{E}}{\partial t}. \quad (2.5)$$

2.3 Transverse electric waves

We first assume waves with vector \mathbf{E} transverse to the direction of transmission: such waves are called transverse (TE) waves. To arrive at a simple solution of the wave equation for the slab waveguide in Figure 2.1, harmonic waves must be

positive z -direction. Every component of the electric and magnetic fields is then proportional to $\exp(j(\omega t - \gamma z))$, with

$$\gamma = \alpha + j\beta \quad (2.6)$$

$$E_z = E_1 = 0 \quad (2.7)$$

For TE waves polarized in the y -direction
With regard to equation (2.7), the wave equation (2.5) reduces to

$$\frac{\partial^2 E_x}{\partial x^2} + k_z^2 E_y = 0 \quad (2.8)$$

with $k_z^2 = k^2 + \gamma^2$

$$\text{and } k^2 \triangleq \omega^2 \mu_0 \epsilon \left(1 - \frac{j\sigma}{\omega \mu_0}\right) \quad (2.9)$$

In general, k^2 and γ^2 and thus also k_z^2 are complex quantities; however, the treatment of the general case is omitted here and attention is concentrated on simple solutions where k^2 and γ^2 have real values and the medium has no losses. In that case, $\sigma = 0$ and ϵ is real; γ^2 is real if $\alpha = 0$ or $\beta = 0$. For unattenuated waves travelling in the positive z -direction, the condition $\alpha = 0$ must be fulfilled. Therefore, it is assumed that

$$\gamma = j\beta \quad (2.11)$$

Simple solutions of equation (2.8) can be obtained if k_z^2 is made positive in medium 1 and negative in medium 2. The solutions thus obtained describe unattenuated waves, completely bound by the waveguide, travelling in the positive z -direction and having oscillating fields (as functions of x) in medium 1 and evanescent fields in medium 2.

Medium 1
Quantities in medium 1 are indicated by the subscript 1. $k_{z1}^2 > 0$, thus k_{z1} is real. Denote

$$k_{z1} = h_1 \quad (2.12)$$

With equations (2.10) and (2.11), it follows that

$$k_{z1}^2 > \beta^2 \quad (2.13)$$

$$\omega^2 \mu_0 \epsilon_1 > \beta^2 \quad (2.14)$$

slab waveguide is greater than the phase velocity $c_1 = 1/\sqrt{\mu_0 \epsilon_1}$ of a plane wave in bulk material with the same electric properties as medium 1.

The solution of equation (2.8) for medium 1 becomes

$$E_{y1} = (A \cos h_1 x + B \sin h_1 x) \exp(j\omega t - j\beta z), \quad |x| \leq a \quad (2.15)$$

where A and B are arbitrary constants.

Medium 2
Quantities in medium 2 are denoted by the subscript 2. $k_2^2 < 0$, thus k_2 is imaginary. Denote

$$k_{c2} = jh_2$$

With equations (2.10) and (2.11), it follows that

$$k_2^2 < \beta^2$$

or

$$\omega^2 \mu_0 \epsilon_2 < \beta^2$$

It becomes clear from equation (2.18) that the phase velocity ω/β of the wave in the slab waveguide is smaller than the phase velocity $c_2 = 1/\sqrt{(\mu_0 \epsilon_2)}$ in bulk material with the same electric properties as medium 2. The solution of equation (2.8) for medium 2 becomes

$$E_{y2} = C \exp(-h_2 x) \exp(j\omega t - j\beta z), \quad \text{for } x \leq a \quad (2.19)$$

$$E_{y2} = D \exp(h_2 x) \exp(j\omega t - j\beta z). \quad x \leq -a \quad (2.20)$$

The components of the magnetic fields in both media, expressed in E_y , follow from equation (2.1)

$$H_{z1} = \frac{1}{j\omega \mu_0} \frac{\partial E_y}{\partial z}, \quad (2.21)$$

$$H_{z2} = -\frac{1}{j\omega \mu_0} \frac{\partial E_y}{\partial x} \quad (2.22)$$

The structure symmetry of Figure 2.1 can be used to find the elementary solutions. Symmetric fields are found when $B = 0$ and $C = D$; while so-called antisymmetric fields are found when $A = 0$ and $C = -D$.

2.3.1 Symmetric TE waves ($B = 0$; $C = D$)

By putting $B = 0$ and $C = D$, the following magnitudes of the electric and magnetic field components can be found from equation (2.15) and equations (2.19)–(2.22).

$$E_{y1} = C \exp(-h_2 |x|) \exp(j\omega t - j\beta z), \quad |x| \geq a \quad (2.24)$$

$$H_{z1} = -\frac{\beta}{\omega \mu_0} A \cos(h_1 x) \exp(j\omega t - j\beta z), \quad |x| \leq a \quad (2.25)$$

$$H_{z2} = -\frac{\beta}{\omega \mu_0} C \exp(-h_2 |x|) \exp(j\omega t - j\beta z), \quad |x| \geq a \quad (2.26)$$

$$H_{z1} = \frac{h_1}{j\omega \mu_0} A \sin(h_1 x) \exp(j\omega t - j\beta z), \quad |x| \leq a \quad (2.27)$$

$$H_{z2} = \frac{h_2}{j\omega \mu_0} C \exp(-h_2 x) \exp(j\omega t - j\beta z), \quad x \geq a \quad (2.28)$$

$$H_{z2} = -\frac{h_2}{j\omega \mu_0} C \exp(h_2 x) \exp(j\omega t - j\beta z), \quad x \leq -a \quad (2.29)$$

(2.17) On the interfaces between the different media, E_y and H_z must be continuous. The continuity condition for E_y , together with equations (2.23) and (2.24) gives

$$A \cos u = C \exp(-w), \quad \text{for } x = a \quad (2.30)$$

$$u = h_1 a \quad (2.31)$$

and

$$w = h_2 a \quad (2.32)$$

The continuity condition for H_z leads to

$$u A \sin u = w C \exp(-w) \quad (2.33)$$

Dividing equation (2.33) by equation (2.30) gives the so-called characteristic equation for symmetric TE waves

$$w = u \tan u \quad (2.34)$$

2.3.2 Antisymmetric TE waves

By putting $A = 0$ and $C = -D$, the components of the electric and magnetic fields of the antisymmetric waves in both media follow from equation (2.15) and equations (2.19)–(2.22):

$$E_{y1} = B \sin(h_1 x) \exp(j\omega t - j\beta z), \quad |x| \leq a \quad (2.35)$$

$$E_{y2} = C \exp(-h_2 x) \exp(j\omega t - j\beta z), \quad x \geq a \quad (2.36)$$

$$E_{y2} = -C \exp(h_2 x) \exp(j\omega t - j\beta z), \quad x \leq -a \quad (2.37)$$

$$H_{z1} = -\frac{\beta}{\omega \mu_0} B \sin(h_1 x) \exp(j\omega t - j\beta z), \quad |x| \leq a \quad (2.38)$$

$$H_{x2} = -\frac{\beta}{\omega_0 \mu_0} C \exp(-h_2 x) \exp(j\omega t - j\beta z), \quad x \geq a \quad (2.39)$$

$$H_{x2} = \frac{\beta}{\omega_0 \mu_0} C \exp(h_2 x) \exp(j\omega t - j\beta z), \quad x \leq -a \quad (2.40)$$

$$H_{z1} = -\frac{h_1}{j\omega_0 \mu_0} B \cos(h_1 x) \exp(j\omega t - j\beta z), \quad |x| \leq a \quad (2.41)$$

$$H_{z2} = \frac{h_2}{j\omega_0 \mu_0} C \exp(-h_2 x) \exp(j\omega t - j\beta z), \quad x \geq a \quad (2.42)$$

$$H_{z2} = \frac{h_2}{j\omega_0 \mu_0} C \exp(h_2 x) \exp(j\omega t - j\beta z), \quad x \leq -a \quad (2.43)$$

The continuity of E_y and H_z required on the interfaces between the media leads to the characteristic equation for antisymmetric waves in the same way as with the symmetric waves

$$w = -u \cot \alpha u \quad (2.44)$$

2.3.3 TE modes

From equations (2.9), (2.10), (2.12), (2.16), (2.31) and (2.32), a relationship between u and w can be established

$$\begin{aligned} u^2 + w^2 &= (h_1^2 + h_2^2)a^2 = (k_{z1}^2 - k_{z2}^2)a^2 = (k_{z1}^2 - k_{z2}^2)\nu^2 \\ &= (\nu^2 \mu_0 \epsilon_0 a^2)(\epsilon_{r1} - \epsilon_{r2}) = (k_{z1}^2 - k_{z2}^2) \Delta \nu^2 \end{aligned} \quad (2.45)$$

with

$$k_{zi}^2 = \nu^2 \mu_0 \epsilon_i a^2$$

where ϵ_i is the free space permittivity and ν is the relative permittivity of medium i ($i = 1, 2$); ν is called the normalized frequency.

Given a certain frequency, and thus the normalized frequency ν , the characteristic equation given by equation (2.44) requires discrete values of u and w . The corresponding wave phenomena are called modes. A graphical method for solving the characteristic equations is illustrated in Figure 2.2. In the Cartesian coordinate system illustrated, the relationship between u and w from equation (2.34) for symmetric waves is represented by a solid line and the relationship from equation (2.44) for antisymmetric waves is represented by a broken line. The solid lines are marked S_1 , S_2 , etc., and the broken line are marked A_1 , A_2 , etc. Equation (2.45) is represented graphically by a circle that has its center at the origin of the coordinate system and its radius is ν . The coordinates of the intersections of the circle with the solid lines and the broken lines are the values of u and w that belong to the modes of the symmetric and the antisymmetric waves, respectively.

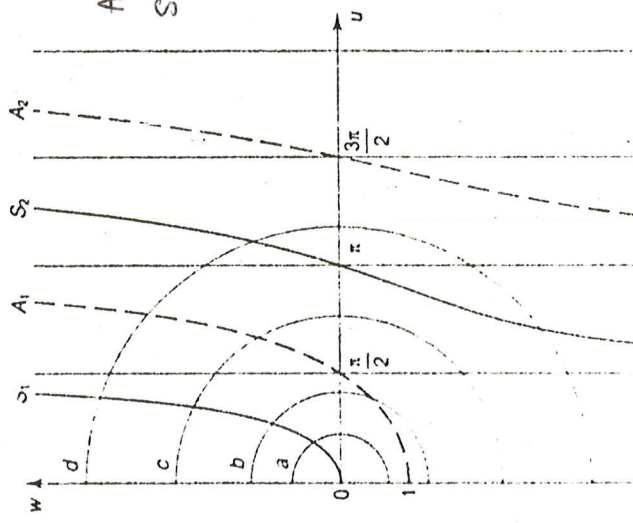


Figure 2.2 Graphical solutions for the characteristic equations.

*A: Antisymmetric
S: Symmetric*

circle has only one intersection point, namely with the curve S_1 ; therefore, the corresponding value of w is positive, implying that the field densities decrease exponentially in medium 2 with increasing values of $|x|$, this is clear from equations (2.19) and (2.20).

If $1 < \nu < \pi/2$, then the circle marked b in Figure 2.2 intersects curve A_1 , at a point that corresponds to a negative value of w . Consequently, the field intensities increase exponentially in medium 2 with increasing values of $|x|$. If the electromagnetic energy remains concentrated in medium 1 and in the vicinity of medium 1, then only positive values of w are allowed.

If $w > 0$, the corresponding mode is called a proper mode. In that case, the fields in medium 2 decrease exponentially with $|x|$; the waves in this medium are then called evanescent waves. If, on the other hand, $w < 0$, the corresponding mode is called an improper mode.

If $\nu > \pi/2$, then one proper mode for the symmetric curve S_2 (marked c in Figure 2.2), then one proper mode for the antisymmetric wave and one proper mode for the antisymmetric wave are found. The cut-off frequency for that proper mode can be found for $v = \pi/2$. In that instance, the fields in medium 2 are independent of x . A proper mode cannot exist for a lower frequency than this cut-off frequency. Finally, a circle d has been drawn in Figure 2.2 that corresponds with two proper modes and one improper mode

for the symmetric waves and one proper mode for the antisymmetric waves.

In general, the symmetric modes are denoted by TE_n , with $n = 0, 2, 4, \dots$, and the antisymmetric modes are denoted TE_n , with $n = 1, 3, 5, \dots$

2.4 Transverse magnetic waves

If the magnetic field vector \mathbf{H} is transverse to the direction of propagation, the wave is called a transverse-magnetic (TM) wave. In a similar way to that described above for TE waves, it is possible to derive the TM waves and modes, starting by multiplying equation (2.2) with the vector operator ∇ in order to eliminate the electric field vector \mathbf{E} from Maxwell's equations and to derive a wave equation for \mathbf{H} . For TM waves, polarized in the y -direction, H_x and H_z are assumed to be zero. Next, the reduced wave equation needs to be solved, assuming that the oscillating fields are restricted to medium 1 and the evanescent fields to medium 2.

2.5 The propagation constant of a mode

The propagation constant plays a major role in the transmission of information. The real part of this constant, namely the attenuation constant α , can usually be assumed to be independent of frequency in the range under consideration; then the phase characteristic is equal to the phase characteristic of an ideal waveguide without attenuation. The phase constant follows from equations (2.9)–(2.12) and equations (2.16), (2.31), (2.32) and (2.45)

$$\begin{aligned} \beta(\omega) &= \sqrt{\omega^2 \mu_0 \epsilon_1 - h_1^2} = \sqrt{\omega^2 \mu_0 \epsilon_2 + h_2^2} \\ &= \omega \sqrt{\mu_0 \epsilon_1} \sqrt{1 - \frac{u^2}{\omega^2} \left(1 - \frac{\epsilon_2}{\epsilon_1}\right)} \end{aligned} \quad (2.47)$$

Since each mode has its own value of u for a certain normalized frequency v , each mode has a unique value of β . If $w = 0$ for a certain mode and thus $h_2 = 0$, then the frequency equals the cut-off frequency. Denoting ω at cut-off by ω_c allows equation (2.48) to be derived from equation (2.47)

$$\beta(\omega_c) = \omega_c \sqrt{\mu_0 \epsilon_2}$$

Thus, at the cut-off frequency, β equals the phase constant of a plane wave in a homogeneous medium with permittivity ϵ_2 . If $\omega \rightarrow \infty$, then $u/v \rightarrow 0$ and it follows from equation (2.47) that

$$\beta \rightarrow \omega \sqrt{\mu_0 \epsilon_1}$$

Thus, with increasing frequency, β approaches the phase constant of a plane

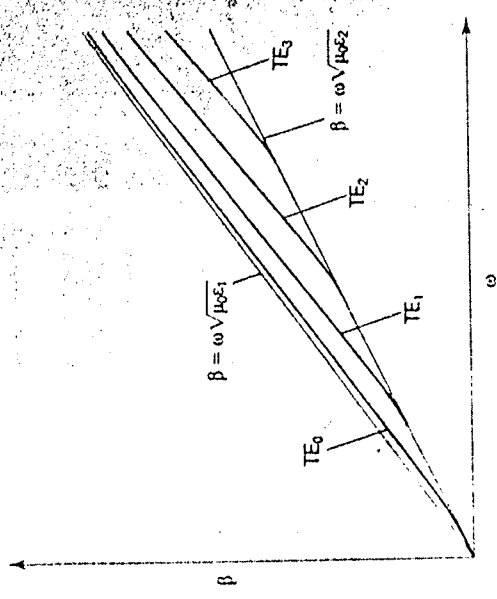


Figure 2.3 The phase constant β as a function of frequency for the modes TE_0 , TE_1 , TE_2 and TE_3 .

The phase constant β is shown in Figure 2.3 as a function of the frequency for the modes TE_0 , TE_1 , TE_2 and TE_3 . Unlike for the modes where $n > 0$, the TE_0 mode has no cut-off frequency. The phase characteristic of this mode touches the line described by $\beta = \omega \sqrt{(\mu_0 \epsilon_2)}$ in the origin.

2.6 Geometric optics interpretation

Equations (2.23), (2.25) and (2.27), which describe the fields for symmetric waves in medium 1, can be written in the following way:

$$E_{11} = \frac{A}{2} \exp [j(\omega t - h_{1x} - \beta z)] + \frac{A}{2} \exp [j(\omega t - h_{1x} - \beta z)] \quad (2.50)$$

$$H_{11} = -\frac{\beta A}{2\omega \eta_0} \exp [j(\omega t + h_{1x} - \beta z)] - \frac{\beta A}{2\omega \eta_0} \exp [j(\omega t - h_{1x} - \beta z)] \quad (2.51)$$

$$H_{11} = \frac{h_{11} A}{2\omega \eta_0} \exp [j(\omega t + h_{1x} - \beta z)] + \frac{h_{11} A}{2\omega \eta_0} \exp [j(\omega t - h_{1x} - \beta z)] \quad (2.52)$$

Looking at the first terms of the right-hand side of these three equations, it can be seen that, at every moment denoted by the value of t , the phase is the

$$h_1x - \beta z = \omega t$$

These are plane surfaces; therefore, the first terms of the right-hand side of equations (2.50)–(2.52) describe a plane wave in medium 1. Likewise the second set of terms describes a plane wave with surfaces of equal phase given by

$$(2.54) \quad h_1x + \beta z = -\omega t$$

Thus a mode can be seen as the superposition of two plane waves in medium 1. In Figure 2.4, two surfaces of equal phase, also called wavefronts, are depicted. Note that superposition of the two components of the magnetic field gives the expected resultant magnetic field vector in the plane of the wavefront. The Poynting vector is perpendicular to the wavefront and coincides with the direction of the light rays corresponding to that wavefront. The angle between a ray and the z -axis is called θ and between a ray and the x -axis is called θ' . From figure 2.4, it follows that

$$\cos \theta = \frac{\beta}{k_1}$$

From equation (2.47), it follows that

$$(2.56) \quad \left(\frac{\beta}{k_1}\right)^2 = 1 - \frac{u^2}{v^2} \left(1 - \frac{n_2^2}{n_1^2}\right)$$

At the cut-off frequency $u = v$, therefore

$$(2.57) \quad \frac{\beta(u_c)}{k_1} = \frac{n_2}{n_1} = \sin \left(\frac{\pi}{2} - \theta_c\right) = \sin \theta'_c$$

where θ_c and θ'_c are the angles θ and θ' at cut-off. From equation (2.57) it is clear that the angle of incidence at the cut-off, on the interface between the different media, equals the critical angle for total internal reflection. If the frequency is lower than the cut-off frequency, then the light rays are not totally reflected and the condition $\alpha = 0$ is not satisfied. For a proper mode, it is

$$(2.53)$$

necessary for the angle θ' to be greater than the critical angle for total internal reflection.

For the TE_0 mode, which has no cut-off frequency, $u/v \rightarrow 1$ if $\omega \rightarrow 0$. In that case the angle of incidence will approach the critical angle when the frequency decreases without limit.

2.6.1 The phase change on reflection

Since the phases of the two wavefronts must be equal, the phase change going from point A on the first wavefront to point B on the second wavefront must equal a whole multitude of 2π . The distance from A to B when measured along a light ray that is reflected between A and B is

$$(2.58) \quad AB = \frac{2h_1a}{k_1}$$

In medium 1, this corresponds to a phase change

$$(2.59) \quad \Delta\phi = -AB k_1 = -2h_1 a = -2u$$

Therefore, the reflection of a light ray is accompanied by a phase change

– $2u$. The slab waveguide provides an insight into optical waveguides for preparing an analysis of circular optical waveguides. In itself, the slab waveguide forms a starting point for the development of integrated optical circuits which concern mainly three or more different media and have more than two interfaces

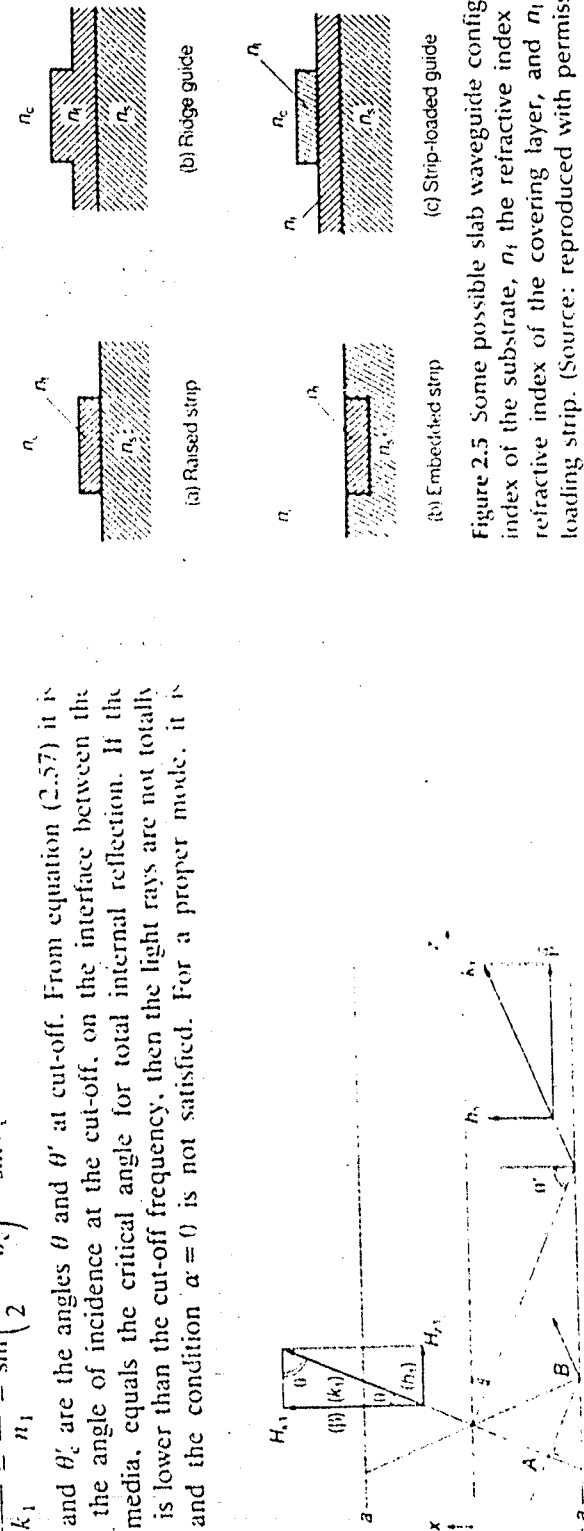


Figure 2.5 Some possible slab waveguide configurations; n_t is the refractive index of the substrate, n_s the refractive index of the guiding layer, n_c the refractive index of the covering layer, and n_l the refractive index of the loading strip. (Source: reproduced with permission from *Integrated Optics*, T. T. Tsai, Springer Verlag, 1970.)

between the media; for instance, with configurations like those sketched in Figure 2.5.

References

- [1] N. S. Kapany and J. J. Burke, *Optical Waveguides* (New York: Academic Press, 1972).
- [2] D. Marcuse, *Theory of Dielectric Optical Waveguides* (New York: Academic Press, 1974).
- [3] D. Marcuse, *Light Transmission Optics* (New York: Van Nostrand Reinhold, 1972).
- [4] H. G. Unger, *Planar Optical Waveguides and Fibres* (Oxford: Clarendon Press, 1977).

Problems

2.1 A slab waveguide as drawn in Figure 2.1 has $n_1 = 1.5$ and $n_2 = 1.48$. Assume monochromatic light with a wavelength such that for the TE₀ mode $u = \pi/4$.

- Find the corresponding value of w and the normalized frequency v.
- Find the ratio λ_0/a .
- Sketch E_{y1} and E_{y2} for $t = 0$ and $z = 0$ as functions of x.
- Prove that

$$\left(\frac{dE_{y1}}{dx} \right)_{t,x=0} = \left(\frac{dE_{y2}}{dx} \right)_{t,x=a}$$

2.2 Find expressions for the electric and magnetic fields in the case that medium 1 of Figure 2.1 is enclosed between media of different permittivity.

2.3 Repeat the derivation of the modes as done in Section 2.3.3 for TM modes. Do the TE modes and the TM modes have the same cutoff frequencies?

2.4 A slab waveguide as given by Figure 2.1 has the following properties: $n_1 = 1.5$, $n_2 = 1.4$, $a_1 = a_2 = 0$, $a = 1 \mu\text{m}$. Which proper modes can propagate in this waveguide if the wavelength of the light is $\lambda_0 = 1 \mu\text{m}$?

2.5 Derive an expression equivalent to the expression in equation (2.47) for the phase constant of a TM mode in a symmetric slab waveguide and compare the resulting phase characteristics with those of the TE modes as depicted in Figure 2.3.

Problems

3.1 The general solution of the wave equation

3.2 Unattenuated waves

3.3 Transverse and hybrid waves and modes

3.4 Transverse waves and modes

3.5 Hybrid modes

3.6 Leaky modes

3.7 Linearly polarized (LP) modes

References

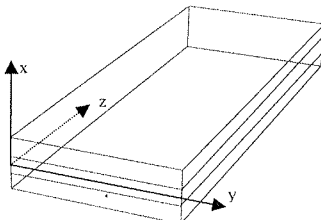
Problems

In this chapter, as in the previous one about slab waveguides, the theory of wave optics will be used to trace the way in which harmonic waves propagate in a step index optical waveguide [1–6]. Here too, discrete solutions will be found that are called modes. We will derive the mode fields and phase constants as functions of the frequency, because these phase functions provide the key to solving dispersion problems in optical waveguides. In a later chapter, particular attention will be paid to the fundamental modes that can propagate in single-mode fibers and to the related dispersion. Finally, the last section of this chapter deals with the weakly guiding fiber with its linearly polarized (LP)

COMUNICACIONES ÓPTICAS 1. DPTO INGENIERÍA DE COMUNICACIONES
EJERCICIOS GUÍA SLAB

EJERCICIO 1

Demostrar que en un slab dieléctrico no existen soluciones de tipo TE con campo eléctrico en dirección x según el sistema de coordenadas indicado en la figura



EJERCICIO 2

Calcular todas las componentes de campo eléctrico y magnético de un modo genérico TE_n par y de un modo genérico TM_n par cuando $n_1 \rightarrow n_2$ (salto de índice pequeño). Dado que ambos modos tienden a degenerarse, se puede considerar que se convierten en un solo modo. ¿En qué tipo de modo: TEM, TE, TM o híbrido?. Justificar el resultado.

Solución: TEM

EJERCICIO 3

La solución general de la ecuación de onda en un slab dieléctrico para los modos TE viene dada por la expresión

$$\bar{E}_i(x, y, z, t) = (A_i e^{j\gamma_{ci}x} + A_i^* e^{-j\gamma_{ci}x}) e^{j(\omega t - \beta z)} \hat{y} \quad , \quad i = 1, 2$$

donde $i=1$ indica núcleo e $i=2$ indica cubierta (tanto superior como inferior). Comprobar que las soluciones correspondientes a la combinación (γ_{c1} imaginario, γ_{c2} imaginario) y a la combinación (γ_{c1} imaginario, γ_{c2} real) no son posibles.

EJERCICIO 4

En un slab dieléctrico el campo eléctrico de los modos TE pares viene dado por las siguientes expresiones:

$$E_{1y}(x) = A \cdot \cos[h_1 x] \cdot e^{j(\omega t - \beta z)} \quad |x| < a$$

$$E_{2y}(x) = B \cdot e^{-h_2|x|} \cdot e^{j(\omega t - \beta z)} \quad |x| > a$$

- a) Determinar el vector de Poynting, $\vec{S} = \vec{E} \times \vec{H}^*$ y su valor medio, $\langle \vec{S} \rangle = \frac{1}{2} \operatorname{Re}[\vec{E} \times \vec{H}^*]$ en el núcleo y en la cubierta.
- b) Obtener en función exclusivamente de los parámetros 'u' y 'w', una expresión simplificada para el factor de confinamiento de los modos TE pares definido como el cociente entre la potencia transmitida por el núcleo y la potencia total. Realizar los cálculos por unidad de anchura del slab.
- c) A partir de la expresión del apartado anterior y conociendo la variación con la frecuencia de los parámetros 'u' y 'w', determinar y justificar la variación de dicho factor con la frecuencia para un modo TE par genérico.

Nota: $\cos^2(x) = 0.5[1+\cos(2x)]$
 $\sin^2(x) = 0.5[1-\cos(2x)]$

Solución: b) Factor de confinamiento =
$$\frac{2u + \sin(2u)}{2u + \sin(2u) + \frac{2u}{w} \cos^2(u)}$$

EJERCICIO 5

En una guía dieléctrica tipo slab, los campos magnéticos transversales correspondientes a los modos guiados TM vienen dados por las siguientes expresiones generales:

$$H_{1y}(x) = [A \cos(h_1 x) + B \sin(h_1 x)] e^{j(wt - \beta z)} \quad |x| < a$$

$$H_{2y}(x) = C e^{-h_2 |x|} e^{j(wt - \beta z)} \quad |x| > a$$

Completar el análisis modal para los modos TM pares obteniendo:

- a) Ecuación característica.
- b) Relación entre constantes de amplitud de los campos en el interfaz.
- c) Expresiones de los campos eléctricos y magnéticos resultantes
- d) Método para calcular la constante de fase (solo indicar)

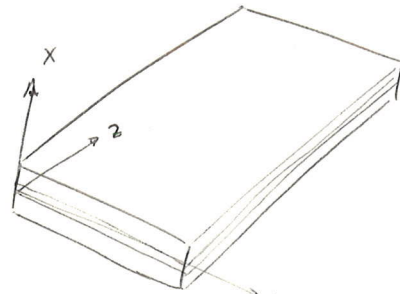
Solución: (ver transparencia de clase)

EJERCICIO 6

Demostrar que la condición para que un modo guiado en el slab se propague, $V > V_c$, obtenida a partir del análisis modal equivale a la condición de reflexión total.

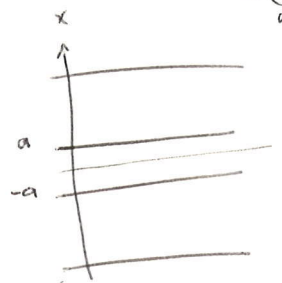
EJERCICIOS - GUÍA SLAB

1



Nodos TE:

$$\bar{E}_i(x) = \bar{E}_{ix}(x)\hat{x} + \bar{E}_{iy}(x)\hat{y} \quad (\text{componente transversal})$$



Condiciones de contorno: ($x = \pm a$)

$$\begin{cases} E_{iy} = E_{zy} \\ E_{iz} = E_{zz} \\ D_{x_1} = D_{x_2} \end{cases}$$

$$i=1: E_1(x=a, y, z, t) = \left(\bar{E}_{ix}(a)\hat{x} + \bar{E}_{iy}(a)\hat{y} \right) e^{i(wt - \beta z)}$$

$$i=2: E_2(x=a, y, z, t) = \left(\bar{E}_{2x}(a)\hat{x} + \bar{E}_{zy}(a)\hat{y} \right) e^{i(wt - \beta z)}$$

$$\Rightarrow E_1(a, y, z, t) = E_2(a, y, z, t) \Rightarrow$$

$$\underbrace{\bar{E}_{ix}(a)\hat{x} + \bar{E}_{iy}(a)\hat{y}}_{\substack{\text{se cumple (es una condición} \\ \text{de contorno)}}} = \underbrace{\bar{E}_{2x}(a)\hat{x} + \bar{E}_{zy}(a)\hat{y}}_{\substack{\text{de contorno)}}}$$

$$D_{ix}(a) = D_{2x}(a) \Rightarrow \bar{E}_1 \bar{E}_{ix}(a) = -\bar{E}_2 \bar{E}_{2x}(a)$$

$$\text{Para } \bar{E}_{ix}(a) = \bar{E}_{2x}(a) \text{ debe ser } \begin{cases} \bar{E}_1 = \bar{E}_2 \\ \bar{E}_{ix}(a) = \bar{E}_{2x}(a) = 0 \end{cases}$$

$$\bar{E}_1 = \bar{E}_2 \text{ no nos sirve, así que el } \boxed{\bar{E}_{ix}(a) = \bar{E}_{2x}(a) = 0}$$

(2)

$$u_1 \rightarrow u_2$$

TE y TM_u pares

$$\text{TE} \rightarrow \bar{E}_i(x, y, z, t) = E_{iy}(x) e^{i(\omega t - \beta z)}$$



$$\text{TE pares} \quad \bar{E}_{iy}(x) = A \cos(\mu x)$$

$$\bar{E}_{zy}(x) = B e^{-\mu x}$$

$$ut_g u = w$$

$$u^2 + w^2 = v^2$$

$$\text{TM pares} \quad \begin{cases} \bar{H}_{iy}(x) = A \cos(\mu x) \\ \bar{H}_{zy}(x) = \frac{A \cos(\mu)}{\epsilon_2/\epsilon_1} e^{-\mu x} \end{cases} \quad \begin{aligned} (\epsilon_2/\epsilon_1) u t_g u &= w \\ \mu^2 + w^2 &= v^2 \end{aligned}$$

$$u_1 \rightarrow u_2 \Rightarrow \epsilon_1 \rightarrow \epsilon_2 \quad \begin{cases} h_1 = \sqrt{k_1^2 - \beta^2} \rightarrow 0 \\ h_2 = \sqrt{\beta^2 - k_2^2} \rightarrow 0 \end{cases}$$

$$u = h_1 a$$

$$w = h_2 a \rightarrow u, w \rightarrow 0$$

Par tanto:

$$\text{-TE pares} \quad \begin{cases} \bar{E}_{iy}(x) = A \\ \bar{E}_{zy}(x) = B \end{cases} \Rightarrow \begin{cases} \bar{E}_1(\vec{r}, t) = A e^{i(\omega t - \beta z)} \\ \bar{E}_2(\vec{r}, t) = B e^{i(\omega t - \beta z)} \end{cases}$$

$$\text{-TM pares} \quad \begin{cases} \bar{H}_{iy}(x) = A \\ \bar{H}_{zy}(x) = B = A \end{cases} \Rightarrow \begin{cases} \bar{H}_1(\vec{r}, t) = A e^{i(\omega t - \beta z)} \\ \bar{H}_2(\vec{r}, t) = A e^{i(\omega t - \beta z)} \end{cases}$$

Para los TE, $\bar{H} = H \cdot \hat{x}$ y para los TM $\bar{E} = E \hat{x}$, por lo que no hay campo vertical en el TEM

③ Slab modes $\rightarrow \epsilon$:

$$\bar{E}_i(x, y, z, t) = (A_i e^{i\gamma_{ci}x} + A_i^* e^{-i\gamma_{ci}x}) e^{i(\omega t - \beta z)} \hat{y}$$

$i = 1, 2$

a) $\gamma_{c1}, \gamma_{c2} \in \mathbb{II}$

b) $\gamma_{c1} \in \mathbb{II}, \gamma_{c2} \in \mathbb{R} \rightarrow$ no son posibles

a) $\gamma_{c1} = i\beta_1$

$$\gamma_{c2} = i\beta_2 \rightarrow \bar{E}_1(x, y, z, t) = (A_1 e^{-\beta_1 x} + A_1^* e^{\beta_1 x}) e^{i(\omega t - \beta_2 z)} \hat{y}$$

$$\bar{E}_2(x, y, z, t) = (A_2 e^{-\beta_2 x} + A_2^* e^{\beta_2 x}) e^{i(\omega t - \beta_2 z)} \hat{y}$$

Condición de cierre:

$$\bar{E}_1(x=a) = \bar{E}_2(x=a)$$

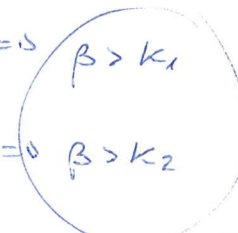
$$A_1 e^{-\beta_1 a} + A_1^* e^{\beta_1 a} = A_2 e^{-\beta_2 a} + A_2^* e^{\beta_2 a}$$

$$\gamma_{ci} \in \mathbb{II} \Rightarrow A_i \in \mathbb{R} \Rightarrow A(e^{-\beta_{ci}a} + e^{\beta_{ci}a}) = A_2(e^{-\beta_2 a} + e^{\beta_2 a})$$

De otra forma:

$$\gamma_{c1} \in \mathbb{II} \Rightarrow \gamma_{c1}^2 < 0 \Rightarrow k_1^2 - \beta^2 < 0 \Rightarrow$$

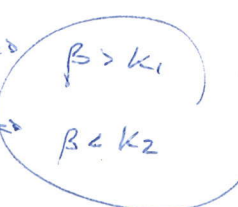
$$\gamma_{c2} \in \mathbb{R} \Rightarrow \gamma_{c2}^2 < 0 \Rightarrow k_2^2 - \beta^2 < 0 \Rightarrow \beta > k_2$$



\rightarrow no tiene sentido físico

b) $\gamma_{c1} \in \mathbb{II} \Rightarrow \gamma_{c1}^2 < 0 \Rightarrow$

$$\gamma_{c2} \in \mathbb{R} \Rightarrow \gamma_{c2}^2 > 0 \Rightarrow \beta > k_1$$



\rightarrow tendría que ser $k_2 > k_1 \Rightarrow u_1 < u_2$

